

Fast Multipole Boundary Element Method (FMM-BEM) pro 2D Laplaceovu rovnici

M.S.

K203

25. 2. 2010

Inspirace a literatura



Yijun Liu a Naoshi Nishimura

The fast multipole boundary element method for potential problems: A tutorial

Engineering Analysis with Boundary Elements 30 (2006) 371–381



Ken-ichi Yoshida

Applications of Fast Multipole Method to Boundary Integral Equation Method
PhD Thesis, Kyoto University (2001)

Úvod

Conventional BEM vs. FMM BEM

BEM

- Úlohu „na oblasti“ přeformulujeme na úlohu „na hranici oblasti“,

Conventional BEM vs. FMM BEM

BEM

- Úlohu „na oblasti“ přeformulujeme na úlohu „na hranici oblasti“, čímž snížíme dimenzi diskrétní úlohy

$$\mathbf{Ax} = \mathbf{b}, \quad \mathbf{A} \in \mathbb{R}^{N \times N} \dots \text{hustá matice tuhosti.}$$

Conventional BEM vs. FMM BEM

BEM

- Úlohu „na oblasti“ přeformulujeme na úlohu „na hranici oblasti“, čímž snížíme dimenzi diskrétní úlohy

$$\mathbf{Ax} = \mathbf{b}, \quad \mathbf{A} \in \mathbb{R}^{N \times N} \dots \text{ hustá matice tuhosti.}$$

Conventional BEM

- Vyčíslení \mathbf{A} : $\mathcal{O}(N^2) \Rightarrow N_{max} \approx 10^4$

Conventional BEM vs. FMM BEM

BEM

- Úlohu „na oblasti“ přeformulujeme na úlohu „na hranici oblasti“, čímž snížíme dimenzi diskrétní úlohy

$$\mathbf{Ax} = \mathbf{b}, \quad \mathbf{A} \in \mathbb{R}^{N \times N} \dots \text{ hustá matice tuhosti.}$$

Conventional BEM

- Vyčíslení \mathbf{A} : $\mathcal{O}(N^2) \Rightarrow N_{max} \approx 10^4$
- Porovnej s FEM: \mathbf{A} ... řídká, vyčíslení \mathbf{A} : $\mathcal{O}(N)$

Conventional BEM vs. FMM BEM

BEM

- Úlohu „na oblasti“ přeformulujeme na úlohu „na hranici oblasti“, čímž snížíme dimenzi diskrétní úlohy

$$\mathbf{Ax} = \mathbf{b}, \quad \mathbf{A} \in \mathbb{R}^{N \times N} \dots \text{ hustá matice tuhosti.}$$

Conventional BEM

- Vyčíslení \mathbf{A} : $\mathcal{O}(N^2) \Rightarrow N_{max} \approx 10^4$
- Porovnej s FEM: \mathbf{A} ... řídká, vyčíslení \mathbf{A} : $\mathcal{O}(N)$

FMM BEM

- Matice \mathbf{A} se nevyčísluje ani neaproximuje (např. low rank bloky - ACA)

Conventional BEM vs. FMM BEM

BEM

- Úlohu „na oblasti“ přeformulujeme na úlohu „na hranici oblasti“, čímž snížíme dimenzi diskrétní úlohy

$$\mathbf{Ax} = \mathbf{b}, \quad \mathbf{A} \in \mathbb{R}^{N \times N} \dots \text{ hustá matice tuhosti.}$$

Conventional BEM

- Vyčíslení \mathbf{A} : $\mathcal{O}(N^2) \Rightarrow N_{max} \approx 10^4$
- Porovnej s FEM: \mathbf{A} ... řídká, vyčíslení \mathbf{A} : $\mathcal{O}(N)$

FMM BEM

- Matice \mathbf{A} se nevyčísluje ani neaproximuje (např. low rank bloky - ACA)
- Předpokládá se použití iteračního řešiče (CG, GMRES)

Conventional BEM vs. FMM BEM

BEM

- Úlohu „na oblasti“ přeformulujeme na úlohu „na hranici oblasti“, čímž snížíme dimenzi diskrétní úlohy

$$\mathbf{Ax} = \mathbf{b}, \quad \mathbf{A} \in \mathbb{R}^{N \times N} \quad \dots \text{ hustá matice tuhosti.}$$

Conventional BEM

- Vyčíslení \mathbf{A} : $\mathcal{O}(N^2) \Rightarrow N_{max} \approx 10^4$
- Porovnej s FEM: \mathbf{A} ... řídká, vyčíslení \mathbf{A} : $\mathcal{O}(N)$

FMM BEM

- Matice \mathbf{A} se nevyčísluje ani neaproximuje (např. low rank bloky - ACA)
- Předpokládá se použití iteračního řešiče (CG, GMRES)
- Jedná se o

urychlení výpočtu součinu \mathbf{Ax}_i , \mathbf{x}_i ... i -tá iterace řešení,

Conventional BEM vs. FMM BEM

BEM

- Úlohu „na oblasti“ přeformulujeme na úlohu „na hranici oblasti“, čímž snížíme dimenzi diskrétní úlohy

$$\mathbf{Ax} = \mathbf{b}, \quad \mathbf{A} \in \mathbb{R}^{N \times N} \quad \dots \text{ hustá matice tuhosti.}$$

Conventional BEM

- Vyčíslení A: $\mathcal{O}(N^2) \Rightarrow N_{max} \approx 10^4$
- Porovnej s FEM: A ... řídká, vyčíslení A: $\mathcal{O}(N)$

FMM BEM

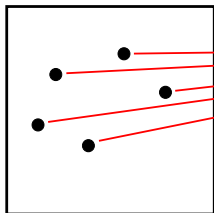
- Matice A se nevyčísluje ani neaproximuje (např. low rank bloky - ACA)
- Předpokládá se použití iteračního řešiče (CG, GMRES)
- Jedná se o

urychlení výpočtu součinu \mathbf{Ax}_i , \mathbf{x}_i ... i -tá iterace řešení,
vedoucí ke složitosti $\mathcal{O}(N) \Rightarrow N_{max} \approx 10^6$

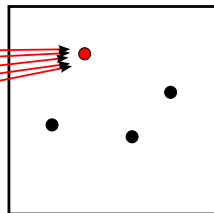
Conventional BEM vs. FMM BEM

Conv. BEM

$$O(N^2)$$



„vzdálené“ uzly



„blízké“ uzly

Conventional BEM vs. FMM BEM

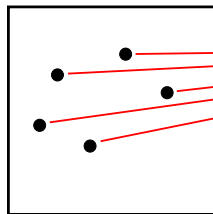
▶ 2D FMM

▶ Multipole expanze

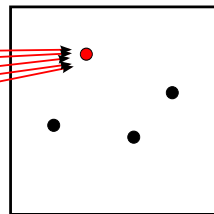
▶ M2L

Conv. BEM

$$\mathcal{O}(N^2)$$



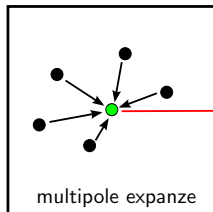
„vzdálené“ uzly



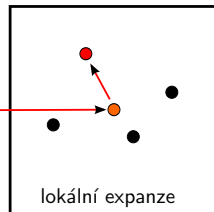
„blízké“ uzly

FMM BEM

$$\mathcal{O}(N)$$



multipole expanze



lokální expanze

2D Conventional BEM

2D smíšená úloha s Laplaceovou rovnicí

▸ Dirichlet

▸ Mixed

$$\Delta u = 0 \text{ v } \Omega$$

$$u = h_1 \text{ na } \Gamma_1$$

$$t \equiv \frac{\partial u}{\partial n} = h_2 \text{ na } \Gamma_2$$

$\Omega \subset \mathbb{R}^2$... omezená s dost hladkou hranicí

$$\Gamma_1 \cup \Gamma_2 = \Gamma = \partial\Omega$$

$$h_1 \in L^2(\Gamma_1), h_2 \in L^2(\Gamma_2)$$

2D smíšená úloha s Laplaceovou rovnicí

▸ Dirichlet

▸ Mixed

$$\Delta u = 0 \text{ v } \Omega$$

$$u = h_1 \text{ na } \Gamma_1$$

$$t \equiv \frac{\partial u}{\partial n} = h_2 \text{ na } \Gamma_2$$

 $\Omega \subset \mathbb{R}^2$... omezená s dost hladkou hranicí

$$\Gamma_1 \cup \Gamma_2 = \Gamma = \partial\Omega$$

$$h_1 \in L^2(\Gamma_1), h_2 \in L^2(\Gamma_2)$$

Věta o reprezentaci: Řešení Laplaceovy rovnice v Ω je dáno vztahem

$$u(x) = \int_{\Gamma} t(y) G(x, y) ds_y - \int_{\Gamma} u(y) F(x, y) ds_y, \quad x \in \Omega,$$

$$G(x, y) = -\frac{1}{2\pi} \ln \|x - y\|, \quad F(x, y) = \frac{\partial G(x, y)}{\partial n(y)} = \frac{1}{2\pi} \frac{(x - y, n(y))}{\|x - y\|^2}.$$

Limitním přechodem $\Omega \ni x \rightarrow \Gamma$ získáme **1. hraniční rovnici**:

$$\frac{1}{2}u(x) = \int_{\Gamma} t(y)G(x, y) ds_y - \int_{\Gamma} u(y)F(x, y) ds_y, \quad x \in \Gamma.$$

Diskrétní úloha

Pro diskretizaci 1. hraniční rovnice zvolme např. **kolokační metodu**:

$$\frac{1}{2}u(x_i) = \int_{\Gamma} t(y)G(x_i, y) ds_y - \int_{\Gamma} u(y)F(x_i, y) ds_y, \quad i = 1, \dots, N$$

Diskrétní úloha

Pro diskretizaci 1. hraniční rovnice zvolme např. **kolokační metodu**:

$$\frac{1}{2}u(x_i) = \int_{\Gamma} t(y)G(x_i, y) ds_y - \int_{\Gamma} u(y)F(x_i, y) ds_y, \quad i = 1, \dots, N$$

Pro jednoduchost použijeme **po částech konst. hraniční prvky** ψ_j :

$$u(y) \approx \sum_{j=1}^N u_j \psi_j(y), \quad t(y) \approx \sum_{j=1}^N t_j \psi_j(y)$$

Diskrétní úloha

Pro diskretizaci 1. hraniční rovnice zvolme např. **kolokační metodu**:

$$\frac{1}{2}u(x_i) = \int_{\Gamma} t(y)G(x_i, y) ds_y - \int_{\Gamma} u(y)F(x_i, y) ds_y, \quad i = 1, \dots, N$$

Pro jednoduchost použijeme **po částech konst. hraniční prvky** ψ_j :

$$u(y) \approx \sum_{j=1}^N u_j \psi_j(y), \quad t(y) \approx \sum_{j=1}^N t_j \psi_j(y)$$

Dostaneme tedy

$$\frac{1}{2}u_i = \sum_{j=1}^N g_{ij}t_j - \sum_{j=1}^N f_{ij}u_j, \quad i = 1, \dots, N$$

$$g_{ij} = \int_{\Gamma_j} G(x_i, y) ds_y, \quad f_{ij} = \int_{\Gamma_j} F(x_i, y) ds_y.$$

Poslední rovnici v rámečku lze maticově zapsat jako:

$$\frac{1}{2} \begin{pmatrix} u_1 \\ \vdots \\ u_N \end{pmatrix} + \begin{pmatrix} f_{11} & \cdots & f_{1N} \\ \vdots & \ddots & \vdots \\ f_{N1} & \cdots & f_{NN} \end{pmatrix} \begin{pmatrix} u_1 \\ \vdots \\ u_N \end{pmatrix} = \begin{pmatrix} g_{11} & \cdots & g_{1N} \\ \vdots & \ddots & \vdots \\ g_{N1} & \cdots & g_{NN} \end{pmatrix} \begin{pmatrix} t_1 \\ \vdots \\ t_N \end{pmatrix}$$

Poslední rovnici v rámečku lze maticově zapsat jako:

$$\frac{1}{2} \begin{pmatrix} u_1 \\ \vdots \\ u_N \end{pmatrix} + \begin{pmatrix} f_{11} & \cdots & f_{1N} \\ \vdots & \ddots & \vdots \\ f_{N1} & \cdots & f_{NN} \end{pmatrix} \begin{pmatrix} u_1 \\ \vdots \\ u_N \end{pmatrix} = \begin{pmatrix} g_{11} & \cdots & g_{1N} \\ \vdots & \ddots & \vdots \\ g_{N1} & \cdots & g_{NN} \end{pmatrix} \begin{pmatrix} t_1 \\ \vdots \\ t_N \end{pmatrix}$$

S ohledem na **předepsané okrajové podmínky** naší úlohy získáváme soustavu

$$\mathbf{A}\mathbf{x} = \mathbf{b}, \quad \mathbf{A} \in \mathbb{R}^{N \times N}, \quad \mathbf{b}, \mathbf{x} \in \mathbb{R}^N,$$

Poslední rovnici v rámečku lze maticově zapsat jako:

$$\frac{1}{2} \begin{pmatrix} u_1 \\ \vdots \\ u_N \end{pmatrix} + \begin{pmatrix} f_{11} & \cdots & f_{1N} \\ \vdots & \ddots & \vdots \\ f_{N1} & \cdots & f_{NN} \end{pmatrix} \begin{pmatrix} u_1 \\ \vdots \\ u_N \end{pmatrix} = \begin{pmatrix} g_{11} & \cdots & g_{1N} \\ \vdots & \ddots & \vdots \\ g_{N1} & \cdots & g_{NN} \end{pmatrix} \begin{pmatrix} t_1 \\ \vdots \\ t_N \end{pmatrix}$$

S ohledem na **předepsané okrajové podmínky** naší úlohy získáváme soustavu

$$\mathbf{Ax} = \mathbf{b}, \quad \mathbf{A} \in \mathbb{R}^{N \times N}, \quad \mathbf{b}, \mathbf{x} \in \mathbb{R}^N,$$

přičemž

- vektor neznámých \mathbf{x} obsahuje uzlové hodnoty u na Γ_2 a uzlové hodnoty t na Γ_1 ,

Poslední rovnici v rámečku lze maticově zapsat jako:

$$\frac{1}{2} \begin{pmatrix} u_1 \\ \vdots \\ u_N \end{pmatrix} + \begin{pmatrix} f_{11} & \cdots & f_{1N} \\ \vdots & \ddots & \vdots \\ f_{N1} & \cdots & f_{NN} \end{pmatrix} \begin{pmatrix} u_1 \\ \vdots \\ u_N \end{pmatrix} = \begin{pmatrix} g_{11} & \cdots & g_{1N} \\ \vdots & \ddots & \vdots \\ g_{N1} & \cdots & g_{NN} \end{pmatrix} \begin{pmatrix} t_1 \\ \vdots \\ t_N \end{pmatrix}$$

S ohledem na **předepsané okrajové podmínky** naší úlohy získáváme soustavu

$$\mathbf{A}\mathbf{x} = \mathbf{b}, \quad \mathbf{A} \in \mathbb{R}^{N \times N}, \quad \mathbf{b}, \mathbf{x} \in \mathbb{R}^N,$$

přičemž

- vektor neznámých \mathbf{x} obsahuje uzlové hodnoty u na Γ_2 a uzlové hodnoty t na Γ_1 ,
- matice \mathbf{A} je hustá a (obecně) nesymetrická,

Poslední rovnici v rámečku lze maticově zapsat jako:

$$\frac{1}{2} \begin{pmatrix} u_1 \\ \vdots \\ u_N \end{pmatrix} + \begin{pmatrix} f_{11} & \cdots & f_{1N} \\ \vdots & \ddots & \vdots \\ f_{N1} & \cdots & f_{NN} \end{pmatrix} \begin{pmatrix} u_1 \\ \vdots \\ u_N \end{pmatrix} = \begin{pmatrix} g_{11} & \cdots & g_{1N} \\ \vdots & \ddots & \vdots \\ g_{N1} & \cdots & g_{NN} \end{pmatrix} \begin{pmatrix} t_1 \\ \vdots \\ t_N \end{pmatrix}$$

S ohledem na **předepsané okrajové podmínky** naší úlohy získáváme soustavu

$$\mathbf{A}\mathbf{x} = \mathbf{b}, \quad \mathbf{A} \in \mathbb{R}^{N \times N}, \quad \mathbf{b}, \mathbf{x} \in \mathbb{R}^N,$$

přičemž

- vektor neznámých \mathbf{x} obsahuje uzlové hodnoty u na Γ_2 a uzlové hodnoty t na Γ_1 ,
- matice \mathbf{A} je hustá a (obecně) nesymetrická,
- vyčíslení \mathbf{A} má složitost $\mathcal{O}(N^2)$.

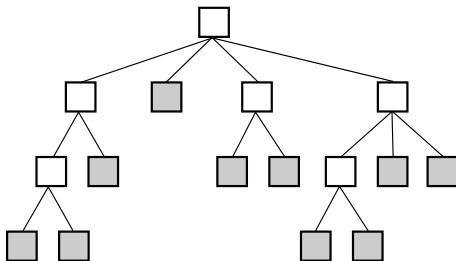
2D FMM BEM formulace

2D FMM

- Vztah element-element „přeneseme“ na vztah buňka-buňka [◀ Conv. BEM vs. FMM BEM](#)

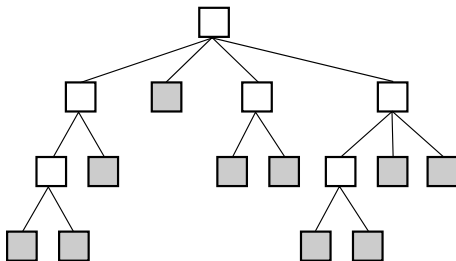
2D FMM

- Vztah element-element „přeneseme“ na vztah buňka-buňka
- Buňky mají hierarchické uspořádání (quad-tree)

[◀ Conv. BEM vs. FMM BEM](#)[▶ M2M](#)[▶ L2L](#)

2D FMM

- Vztah element-element „přeneseme“ na vztah buňka-buňka
- Buňky mají hierarchické uspořádání (quad-tree)

[◀ Conv. BEM vs. FMM BEM](#)[▶ M2M](#)[▶ L2L](#)

- Listové buňky obsahují specifikovaný počet elementů

Komplexní značení

- Uvažujme integrál

$$\int_{\Gamma_0} t(y) G(x, y) ds_y$$

kolokační uzel

$\Gamma_0 \subset \Gamma$ je „dost daleko“ od x

Komplexní značení

- Uvažujme integrál

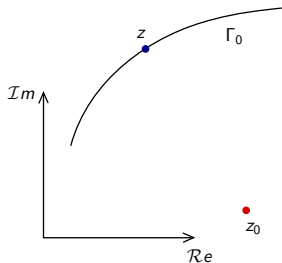
$$\int_{\Gamma_0} t(y) G(x, y) ds_y,$$

kolokační uzel

$\Gamma_0 \subset \Gamma$ je „dost daleko“ od x

- Zavedeme označení:

$$x \rightsquigarrow z_0 = x_1 + ix_2, \quad y \rightsquigarrow z = y_1 + iy_2$$



Komplexní značení

- Uvažujme integrál

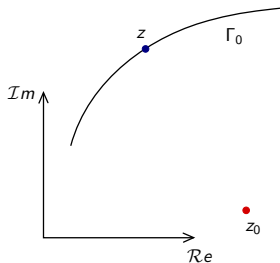
$$\int_{\Gamma_0} t(y) G(x, y) ds_y,$$

kolokační uzel

$\Gamma_0 \subset \Gamma$ je „dost daleko“ od x

- Zavedeme označení:

$$x \rightsquigarrow z_0 = x_1 + ix_2, \quad y \rightsquigarrow z = y_1 + iy_2$$



$$G(z_0, z) = -\frac{1}{2\pi} \ln(z_0 - z)$$

$$\operatorname{Re}\{G(z_0, z)\} = -\frac{1}{2\pi} \ln \underbrace{|z_0 - z|}_{\|x-y\|} = G(x, y)$$

Komplexní značení

- Uvažujme integrál

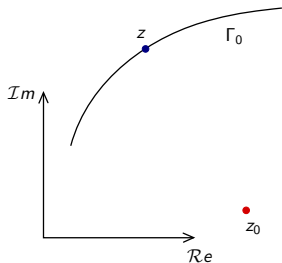
$$\int_{\Gamma_0} t(y) G(x, y) ds_y$$

kolokační uzel

$\Gamma_0 \subset \Gamma$ je „dost daleko“ od x

- Zavedeme označení:

$$x \rightsquigarrow z_0 = x_1 + ix_2, \quad y \rightsquigarrow z = y_1 + iy_2$$



$$G(z_0, z) = -\frac{1}{2\pi} \ln(z_0 - z)$$

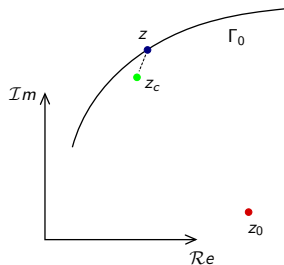
$$\operatorname{Re}\{G(z_0, z)\} = -\frac{1}{2\pi} \ln \underbrace{|z_0 - z|}_{\|x-y\|} = G(x, y)$$

$$\int_{\Gamma_0} t(y) G(x, y) ds_y = \operatorname{Re} \left\{ \int_{\Gamma_0} t(z) G(z_0, z) ds_z \right\}$$

Multipole expanze a multipole momenty

◀ Conv. BEM vs. FMM BEM

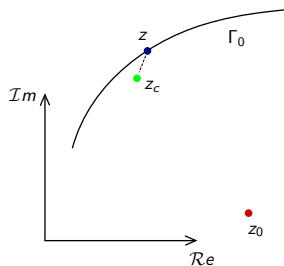
z_c ... „blízky bod“ z , tj. $|z - z_c| \ll |z_0 - z_c|$



Multipole expanze a multipole momenty

◀ Conv. BEM vs. FMM BEM

z_c ... „blízký bod“ z , tj. $|z - z_c| \ll |z_0 - z_c|$



Užitím Taylorova rozvoje lze psát:

$$G(z_0, z) = \frac{1}{2\pi} \sum_{k=0}^{\infty} O_k(z_0 - z_c) I_k(z - z_c)$$

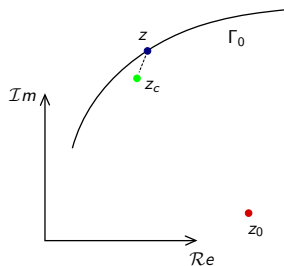
$$O_k(z) = \frac{(k-1)!}{z^k} \quad k \geq 1, \quad O_0(z) = -\ln(z)$$

$$I_k(z) = \frac{z^k}{k!} \quad k \geq 0$$

Multipole expanze a multipole momenty

◀ Conv. BEM vs. FMM BEM

z_c ... „blízky bod“ z , tj. $|z - z_c| \ll |z_0 - z_c|$



Užitím Taylorova rozvoje lze psát:

$$G(z_0, z) = \frac{1}{2\pi} \sum_{k=0}^{\infty} O_k(z_0 - z_c) I_k(z - z_c)$$

$$O_k(z) = \frac{(k-1)!}{z^k} \quad k \geq 1, \quad O_0(z) = -\ln(z)$$

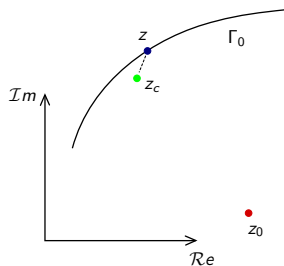
$$I_k(z) = \frac{z^k}{k!} \quad k \geq 0$$

$$\int_{\Gamma_0} t(z) G(z_0, z) ds_z = \frac{1}{2\pi} \sum_{k=0}^{\infty} O_k(z_0 - z_c) \int_{\Gamma_0} t(z) I_k(z - z_c) ds_z$$

Multipole expanze a multipole momenty

◀ Conv. BEM vs. FMM BEM

z_c ... „blízký bod“ z , tj. $|z - z_c| \ll |z_0 - z_c|$



Užitím Taylorova rozvoje lze psát:

$$G(z_0, z) = \frac{1}{2\pi} \sum_{k=0}^{\infty} O_k(z_0 - z_c) I_k(z - z_c)$$

$$O_k(z) = \frac{(k-1)!}{z^k} \quad k \geq 1, \quad O_0(z) = -\ln(z)$$

$$I_k(z) = \frac{z^k}{k!} \quad k \geq 0$$

$$\int_{\Gamma_0} t(z) G(z_0, z) ds_z = \frac{1}{2\pi} \sum_{k=0}^{\infty} O_k(z_0 - z_c) \underbrace{\int_{\Gamma_0} t(z) I_k(z - z_c) ds_z}_{M_k(z_c)}$$

$$\int_{\Gamma_0} t(z) G(z_0, z) ds_z = \frac{1}{2\pi} \sum_{k=0}^{\infty} O_k(z_0 - z_c) M_k(z_c) \quad (*)$$



$$M_k(z_c) = \int_{\Gamma_0} t(z) I_k(z - z_c) ds_z \quad (**)$$

$$\int_{\Gamma_0} t(z) G(z_0, z) ds_z = \frac{1}{2\pi} \sum_{k=0}^{\infty} O_k(z_0 - z_c) M_k(z_c) \quad (*)$$

$$M_k(z_c) = \int_{\Gamma_0} t(z) I_k(z - z_c) ds_z \quad (**)$$

- (*) ... multipole expanze

$$\int_{\Gamma_0} t(z) G(z_0, z) ds_z = \frac{1}{2\pi} \sum_{k=0}^{\infty} O_k(z_0 - z_c) M_k(z_c) \quad (*)$$

$$M_k(z_c) = \int_{\Gamma_0} t(z) I_k(z - z_c) ds_z \quad (**)$$

- (*) ... **multipole expanze**
- $M_k(z_c)$... **multipole momenty** v okolí z_c

$$\int_{\Gamma_0} t(z) G(z_0, z) ds_z = \frac{1}{2\pi} \sum_{k=0}^{\infty} O_k(z_0 - z_c) M_k(z_c) \quad (*)$$

$$M_k(z_c) = \int_{\Gamma_0} t(z) I_k(z - z_c) ds_z \quad (**)$$

- (*) ... **multipole expanze**
- $M_k(z_c)$... **multipole momenty** v okolí z_c
- $M_k(z_c)$ nezávisí na kolokačním uzlu z_0 !, proto je stačí vypočíst jen jednou (během 1 násobení maticí tuhosti)

$$\int_{\Gamma_0} t(z) G(z_0, z) ds_z = \frac{1}{2\pi} \sum_{k=0}^{\infty} O_k(z_0 - z_c) M_k(z_c) \quad (*)$$

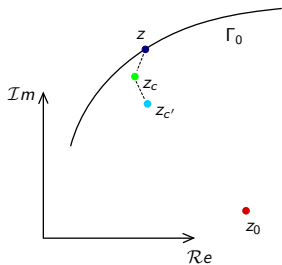
$$M_k(z_c) = \int_{\Gamma_0} t(z) I_k(z - z_c) ds_z \quad (**)$$

- (*) ... **multipole expanze**
- $M_k(z_c)$... **multipole momenty** v okolí z_c
- $M_k(z_c)$ nezávisí na kolokačním uzlu z_0 !, proto je stačí vypočítat jen jednou (během 1 násobení maticí tuhosti)
- $M_k(z_c)$ lze vypočítat analyticky

Moment-to-moment posunutí (M2M)

◀ Quad-tree

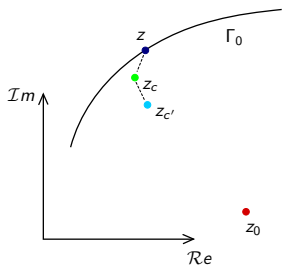
z_c ... posunut do pozice z_c'



Moment-to-moment posunutí (M2M)

[◀ Quad-tree](#)

z_c ... posunut do pozice $z_{c'}$

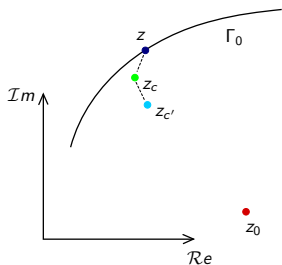


$$M_k(z_{c'}) = \int_{\Gamma_0} t(z) I_k(z - z_{c'}) ds_z$$

Moment-to-moment posunutí (M2M)

[◀ Quad-tree](#)

z_c ... posunut do pozice $z_{c'}$

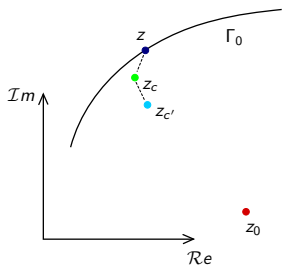


$$\begin{aligned}
 M_k(z_{c'}) &= \int_{\Gamma_0} t(z) I_k(z - z_{c'}) ds_z \\
 &= \int_{\Gamma_0} t(z) I_k((z - z_c) + (z_c - z_{c'})) ds_z
 \end{aligned}$$

Moment-to-moment posunutí (M2M)

◀ Quad-tree

z_c ... posunut do pozice $z_{c'}$



$$M_k(z_{c'}) = \int_{\Gamma_0} t(z) I_k(z - z_{c'}) ds_z$$

$$= \int_{\Gamma_0} t(z) I_k((z - z_c) + (z_c - z_{c'})) ds_z$$

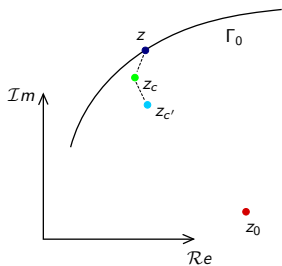
$$I_k(z) = \frac{z^k}{k!}$$

$$(a + b)^k = \sum_{m=0}^k \binom{k}{m} a^m b^{k-m}$$

Moment-to-moment posunutí (M2M)

◀ Quad-tree

z_c ... posunut do pozice $z_{c'}$



$$M_k(z_{c'}) = \int_{\Gamma_0} t(z) l_k(z - z_{c'}) ds_z$$

$$= \int_{\Gamma_0} t(z) l_k((z - z_c) + (z_c - z_{c'})) ds_z$$

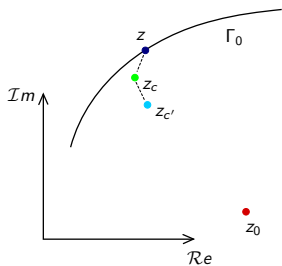
$$l_k(z) = \frac{z^k}{k!}$$

$$(a + b)^k = \sum_{m=0}^k \binom{k}{m} a^m b^{k-m}$$

$$M_k(z_{c'}) = \int_{\Gamma_0} t(z)$$

Moment-to-moment posunutí (M2M)

◀ Quad-tree

 z_c ... posunut do pozice $z_{c'}$ 

$$M_k(z_{c'}) = \int_{\Gamma_0} t(z) l_k(z - z_{c'}) ds_z$$

$$= \int_{\Gamma_0} t(z) l_k((z - z_c) + (z_c - z_{c'})) ds_z$$

$$l_k(z) = \frac{z^k}{k!}$$

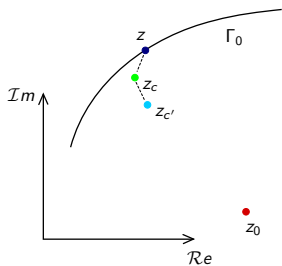
$$(a + b)^k = \sum_{m=0}^k \binom{k}{m} a^m b^{k-m}$$

$$M_k(z_{c'}) = \int_{\Gamma_0} t(z) \frac{\hspace{10em}}{k!} ds_z$$

Moment-to-moment posunutí (M2M)

◀ Quad-tree

z_c ... posunut do pozice $z_{c'}$



$$M_k(z_{c'}) = \int_{\Gamma_0} t(z) l_k(z - z_{c'}) ds_z$$

$$= \int_{\Gamma_0} t(z) l_k((z - z_c) + (z_c - z_{c'})) ds_z$$

$$l_k(z) = \frac{z^k}{k!}$$

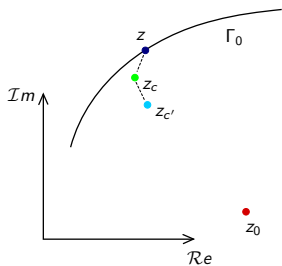
$$(a + b)^k = \sum_{m=0}^k \binom{k}{m} a^m b^{k-m}$$

$$M_k(z_{c'}) = \int_{\Gamma_0} t(z) \frac{\sum_{m=0}^k \frac{k!}{(k-m)!m!}}{k!} ds_z$$

Moment-to-moment posunutí (M2M)

◀ Quad-tree

z_c ... posunut do pozice $z_{c'}$



$$M_k(z_{c'}) = \int_{\Gamma_0} t(z) l_k(z - z_{c'}) ds_z$$

$$= \int_{\Gamma_0} t(z) l_k((z - z_c) + (z_c - z_{c'})) ds_z$$

$$l_k(z) = \frac{z^k}{k!}$$

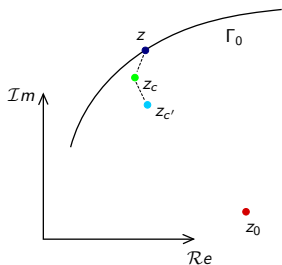
$$(a + b)^k = \sum_{m=0}^k \binom{k}{m} a^m b^{k-m}$$

$$M_k(z_{c'}) = \int_{\Gamma_0} t(z) \frac{\sum_{m=0}^k \frac{k!}{(k-m)!m!} (z - z_c)^m}{k!} ds_z$$

Moment-to-moment posunutí (M2M)

◀ Quad-tree

z_c ... posunut do pozice $z_{c'}$



$$M_k(z_{c'}) = \int_{\Gamma_0} t(z) l_k(z - z_{c'}) ds_z$$

$$= \int_{\Gamma_0} t(z) l_k((z - z_c) + (z_c - z_{c'})) ds_z$$

$$l_k(z) = \frac{z^k}{k!}$$

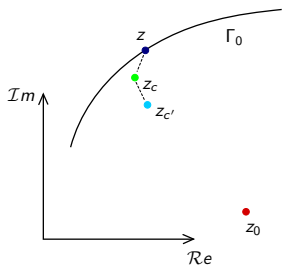
$$(a + b)^k = \sum_{m=0}^k \binom{k}{m} a^m b^{k-m}$$

$$M_k(z_{c'}) = \int_{\Gamma_0} t(z) \frac{\sum_{m=0}^k \frac{k!}{(k-m)!m!} (z - z_c)^m (z_c - z_{c'})^{k-m}}{k!} ds_z$$

Moment-to-moment posunutí (M2M)

◀ Quad-tree

z_c ... posunut do pozice $z_{c'}$



$$M_k(z_{c'}) = \int_{\Gamma_0} t(z) I_k(z - z_{c'}) ds_z$$

$$= \int_{\Gamma_0} t(z) I_k((z - z_c) + (z_c - z_{c'})) ds_z$$

$$I_k(z) = \frac{z^k}{k!}$$

$$(a + b)^k = \sum_{m=0}^k \binom{k}{m} a^m b^{k-m}$$

$$M_k(z_{c'}) = \int_{\Gamma_0} t(z) \frac{\sum_{m=0}^k \frac{k!}{(k-m)!m!} (z - z_c)^m (z_c - z_{c'})^{k-m}}{k!} ds_z$$

$$M_k(z_{c'}) = \sum_{m=0}^k \frac{(z_c - z_{c'})^{k-m}}{(k-m)!} \int_{\Gamma_0} t(z) \frac{(z - z_c)^m}{m!} ds_z$$

$$M_k(z_{c'}) = \sum_{m=0}^k \underbrace{\frac{(z_c - z_{c'})^{k-m}}{(k-m)!}}_{I_{k-m}(z_c - z_{c'})} \int_{\Gamma_0} t(z) \underbrace{\frac{(z - z_c)^m}{m!}}_{I_m(z - z_c)} ds_z$$

$$M_k(z_{c'}) = \sum_{m=0}^k \underbrace{\frac{(z_c - z_{c'})^{k-m}}{(k-m)!}}_{I_{k-m}(z_c - z_{c'})} \int_{\Gamma_0} t(z) \underbrace{\frac{(z - z_c)^m}{m!}}_{I_m(z - z_c)} ds_z$$

$$\underbrace{\hspace{15em}}_{M_m(z_c)}$$

$$M_k(z_{c'}) = \sum_{m=0}^k \underbrace{\frac{(z_c - z_{c'})^{k-m}}{(k-m)!}}_{I_{k-m}(z_c - z_{c'})} \int_{\Gamma_0} t(z) \underbrace{\frac{(z - z_c)^m}{m!}}_{I_m(z - z_c)} ds_z$$

$M_m(z_c)$

$$M_k(z_{c'}) = \sum_{m=0}^k I_{k-m}(z_c - z_{c'}) M_m(z_c) \quad (\bullet)$$



$$M_k(z_{c'}) = \sum_{m=0}^k \underbrace{\frac{(z_c - z_{c'})^{k-m}}{(k-m)!}}_{I_{k-m}(z_c - z_{c'})} \int_{\Gamma_0} t(z) \underbrace{\frac{(z - z_c)^m}{m!}}_{I_m(z - z_c)} ds_z$$

$$\underbrace{\hspace{15em}}_{M_m(z_c)}$$

$$M_k(z_{c'}) = \sum_{m=0}^k I_{k-m}(z_c - z_{c'}) M_m(z_c) \quad (\bullet)$$



- (•) ... M2M posunutí, když z_c je přesunut do $z_{c'}$

$$M_k(z_{c'}) = \sum_{m=0}^k \underbrace{\frac{(z_c - z_{c'})^{k-m}}{(k-m)!}}_{I_{k-m}(z_c - z_{c'})} \int_{\Gamma_0} t(z) \underbrace{\frac{(z - z_c)^m}{m!}}_{I_m(z - z_c)} ds_z$$

$\underbrace{\hspace{15em}}_{M_m(z_c)}$

$$M_k(z_{c'}) = \sum_{m=0}^k I_{k-m}(z_c - z_{c'}) M_m(z_c) \quad (\bullet)$$

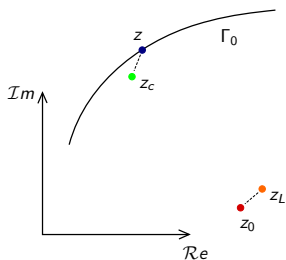


- (•) ... **M2M posunutí**, když z_c je přesunut do $z_{c'}$
- M2M posunutí obsahuje v sumě pouze konečný počet členů

Lokální expanze a moment-to-local posunutí (M2L)

◀ Conv. BEM vs. FMM BEM

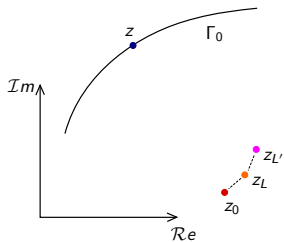
z_L ... „blízký bod“ z_0 , tj. $|z_0 - z_L| \ll |z_c - z_L|$



Local-to-local posunutí (L2L)

◀ Quad-tree

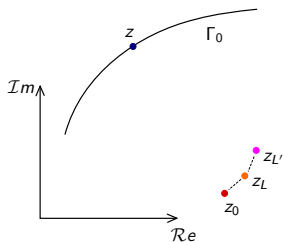
z_L ... posunut do pozice $z_{L'}$



Local-to-local posunutí (L2L)

◀ Quad-tree

z_L ... posunut do pozice $z_{L'}$

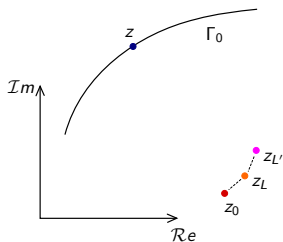


$$\int_{\Gamma_0} t(z) G(z_0, z) ds_z = \sum_{\ell=0}^{\infty} L_{\ell}(z_L) l_{\ell}(z_0 - z_L) =$$

$$= \sum_{\ell=0}^{\infty} L_{\ell}(z_L) l_{\ell}((z_0 - z_{L'}) + (z_{L'} - z_L))$$

Local-to-local posunutí (L2L)

◀ Quad-tree

z_L ... posunut do pozice z_{L'}

$$\int_{\Gamma_0} t(z) G(\mathbf{z}_0, z) ds_z = \sum_{\ell=0}^{\infty} L_{\ell}(z_L) I_{\ell}(\mathbf{z}_0 - z_L) =$$

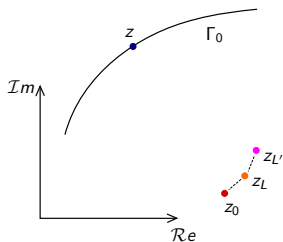
$$= \sum_{\ell=0}^{\infty} L_{\ell}(z_L) I_{\ell}((\mathbf{z}_0 - z_{L'}) + (z_{L'} - z_L))$$

$$I_{\ell}(z) = \frac{z^{\ell}}{\ell!}, \quad (a + b)^{\ell} = \sum_{m=0}^{\ell} \binom{\ell}{m} a^m b^{\ell-m}$$

$$\sum_{\ell=0}^{\infty} \sum_{m=0}^{\ell} = \sum_{m=0}^{\infty} \sum_{\ell=m}^{\infty}$$

Local-to-local posunutí (L2L)

◀ Quad-tree

 z_L ... posunut do pozice $z_{L'}$ 

$$\int_{\Gamma_0} t(z) G(z_0, z) ds_z = \sum_{\ell=0}^{\infty} L_{\ell}(z_L) I_{\ell}(z_0 - z_L) =$$

$$= \sum_{\ell=0}^{\infty} L_{\ell}(z_L) I_{\ell}((z_0 - z_{L'}) + (z_{L'} - z_L))$$

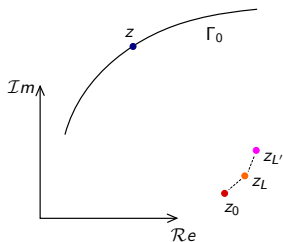
$$I_{\ell}(z) = \frac{z^{\ell}}{\ell!}, \quad (a + b)^{\ell} = \sum_{m=0}^{\ell} \binom{\ell}{m} a^m b^{\ell-m}$$

$$\sum_{\ell=0}^{\infty} \sum_{m=0}^{\ell} = \sum_{m=0}^{\infty} \sum_{\ell=m}^{\infty}$$

$$\int_{\Gamma_0} t(z) G(z_0, z) ds_z = \sum_{\ell=0}^{\infty} L_{\ell}(z_{L'})$$

Local-to-local posunutí (L2L)

◀ Quad-tree

 z_L ... posunut do pozice $z_{L'}$ 

$$\int_{\Gamma_0} t(z) G(z_0, z) ds_z = \sum_{\ell=0}^{\infty} L_{\ell}(z_L) I_{\ell}(z_0 - z_L) =$$

$$= \sum_{\ell=0}^{\infty} L_{\ell}(z_L) I_{\ell}((z_0 - z_{L'}) + (z_{L'} - z_L))$$

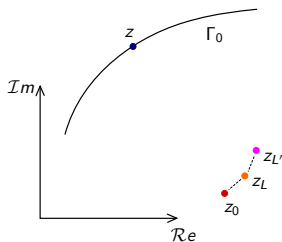
$$I_{\ell}(z) = \frac{z^{\ell}}{\ell!}, \quad (a + b)^{\ell} = \sum_{m=0}^{\ell} \binom{\ell}{m} a^m b^{\ell-m}$$

$$\sum_{\ell=0}^{\infty} \sum_{m=0}^{\ell} = \sum_{m=0}^{\infty} \sum_{\ell=m}^{\infty}$$

$$\int_{\Gamma_0} t(z) G(z_0, z) ds_z = \sum_{\ell=0}^{\infty} L_{\ell}(z_L) \frac{\quad}{\ell!}$$

Local-to-local posunutí (L2L)

◀ Quad-tree

z_L ... posunut do pozice z_{L'}

$$\int_{\Gamma_0} t(z) G(z_0, z) ds_z = \sum_{\ell=0}^{\infty} L_{\ell}(z_L) l_{\ell}(z_0 - z_L) =$$

$$= \sum_{\ell=0}^{\infty} L_{\ell}(z_L) l_{\ell}((z_0 - z_{L'}) + (z_{L'} - z_L))$$

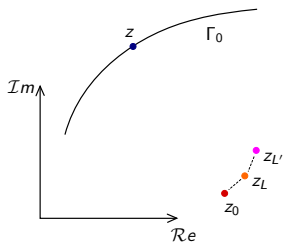
$$l_{\ell}(z) = \frac{z^{\ell}}{\ell!}, \quad (a + b)^{\ell} = \sum_{m=0}^{\ell} \binom{\ell}{m} a^m b^{\ell-m}$$

$$\sum_{\ell=0}^{\infty} \sum_{m=0}^{\ell} = \sum_{m=0}^{\infty} \sum_{\ell=m}^{\infty}$$

$$\int_{\Gamma_0} t(z) G(z_0, z) ds_z = \sum_{\ell=0}^{\infty} L_{\ell}(z_L) \frac{\sum_{m=0}^{\ell} \frac{\ell!}{(\ell-m)! m!}}{\ell!}$$

Local-to-local posunutí (L2L)

◀ Quad-tree

 z_L ... posunut do pozice $z_{L'}$ 

$$\int_{\Gamma_0} t(z) G(z_0, z) ds_z = \sum_{\ell=0}^{\infty} L_{\ell}(z_L) I_{\ell}(z_0 - z_L) =$$

$$= \sum_{\ell=0}^{\infty} L_{\ell}(z_L) I_{\ell}((z_0 - z_{L'}) + (z_{L'} - z_L))$$

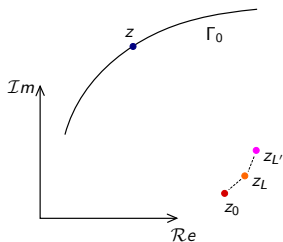
$$I_{\ell}(z) = \frac{z^{\ell}}{\ell!}, \quad (a + b)^{\ell} = \sum_{m=0}^{\ell} \binom{\ell}{m} a^m b^{\ell-m}$$

$$\sum_{\ell=0}^{\infty} \sum_{m=0}^{\ell} = \sum_{m=0}^{\infty} \sum_{\ell=m}^{\infty}$$

$$\int_{\Gamma_0} t(z) G(z_0, z) ds_z = \sum_{\ell=0}^{\infty} L_{\ell}(z_L) \frac{\sum_{m=0}^{\ell} \frac{\ell!}{(\ell-m)!m!} (z_0 - z_{L'})^m}{\ell!}$$

Local-to-local posunutí (L2L)

◀ Quad-tree

 z_L ... posunut do pozice $z_{L'}$ 

$$\int_{\Gamma_0} t(z) G(z_0, z) ds_z = \sum_{\ell=0}^{\infty} L_{\ell}(z_L) I_{\ell}(z_0 - z_L) =$$

$$= \sum_{\ell=0}^{\infty} L_{\ell}(z_L) I_{\ell}((z_0 - z_{L'}) + (z_{L'} - z_L))$$

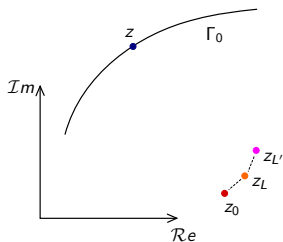
$$I_{\ell}(z) = \frac{z^{\ell}}{\ell!}, \quad (a + b)^{\ell} = \sum_{m=0}^{\ell} \binom{\ell}{m} a^m b^{\ell-m}$$

$$\sum_{\ell=0}^{\infty} \sum_{m=0}^{\ell} = \sum_{m=0}^{\infty} \sum_{\ell=m}^{\infty}$$

$$\int_{\Gamma_0} t(z) G(z_0, z) ds_z = \sum_{\ell=0}^{\infty} L_{\ell}(z_L) \frac{\sum_{m=0}^{\ell} \frac{\ell!}{(\ell-m)!m!} (z_0 - z_{L'})^m (z_{L'} - z_L)^{\ell-m}}{\ell!}$$

Local-to-local posunutí (L2L)

◀ Quad-tree

 z_L ... posunut do pozice $z_{L'}$ 

$$\int_{\Gamma_0} t(z) G(z_0, z) ds_z = \sum_{\ell=0}^{\infty} L_{\ell}(z_L) I_{\ell}(z_0 - z_L) =$$

$$= \sum_{\ell=0}^{\infty} L_{\ell}(z_L) I_{\ell}((z_0 - z_{L'}) + (z_{L'} - z_L))$$

$$I_{\ell}(z) = \frac{z^{\ell}}{\ell!}, \quad (a + b)^{\ell} = \sum_{m=0}^{\ell} \binom{\ell}{m} a^m b^{\ell-m}$$

$$\sum_{\ell=0}^{\infty} \sum_{m=0}^{\ell} = \sum_{m=0}^{\infty} \sum_{\ell=m}^{\infty}$$

$$\int_{\Gamma_0} t(z) G(z_0, z) ds_z = \sum_{\ell=0}^{\infty} L_{\ell}(z_L) \frac{\sum_{m=0}^{\ell} \frac{\ell!}{(\ell-m)!m!} (z_0 - z_{L'})^m (z_{L'} - z_L)^{\ell-m}}{\ell!}$$

$$\int_{\Gamma_0} t(z) G(z_0, z) ds_z = \sum_{m=0}^{\infty} \sum_{\ell=m}^{\infty} L_{\ell}(z_L) \frac{(z_0 - z_{L'})^m}{m!} \frac{(z_{L'} - z_L)^{\ell-m}}{(\ell-m)!}$$

$$\int_{\Gamma_0} t(z) G(z_0, z) ds_z = \sum_{m=0}^{\infty} \sum_{\ell=m}^{\infty} L_{\ell}(z_L) \underbrace{\frac{(z_0 - z_{L'})^m}{m!}}_{I_m(z_0 - z_{L'})} \underbrace{\frac{(z_{L'} - z_L)^{\ell-m}}{(\ell-m)!}}_{I_{\ell-m}(z_{L'} - z_L)}$$

$$\begin{aligned}
 \int_{\Gamma_0} t(z) G(z_0, z) ds_z &= \sum_{m=0}^{\infty} \sum_{\ell=m}^{\infty} L_{\ell}(z_L) \underbrace{\frac{(z_0 - z_{L'})^m}{m!}}_{I_m(z_0 - z_{L'})} \underbrace{\frac{(z_{L'} - z_L)^{\ell-m}}{(\ell-m)!}}_{I_{\ell-m}(z_{L'} - z_L)} \\
 &= \sum_{m=0}^{\infty} I_m(z_0 - z_{L'}) \sum_{\ell=m}^{\infty} I_{\ell-m}(z_{L'} - z_L) L_{\ell}(z_L)
 \end{aligned}$$

$$\begin{aligned}
 \int_{\Gamma_0} t(z) G(z_0, z) ds_z &= \sum_{m=0}^{\infty} \sum_{\ell=m}^{\infty} L_{\ell}(z_L) \underbrace{\frac{(z_0 - z_{L'})^m}{m!}}_{I_m(z_0 - z_{L'})} \underbrace{\frac{(z_{L'} - z_L)^{\ell-m}}{(\ell-m)!}}_{I_{\ell-m}(z_{L'} - z_L)} \\
 &= \sum_{m=0}^{\infty} I_m(z_0 - z_{L'}) \sum_{\ell=m}^{\infty} I_{\ell-m}(z_{L'} - z_L) L_{\ell}(z_L) \\
 &= \sum_{m=0}^{\infty} L_m(z_L) I_m(z_0 - z_L)
 \end{aligned}$$

$$\begin{aligned}
 \int_{\Gamma_0} t(z) G(z_0, z) ds_z &= \sum_{m=0}^{\infty} \sum_{\ell=m}^{\infty} L_{\ell}(z_L) \underbrace{\frac{(z_0 - z_{L'})^m}{m!}}_{I_m(z_0 - z_{L'})} \underbrace{\frac{(z_{L'} - z_L)^{\ell-m}}{(\ell-m)!}}_{I_{\ell-m}(z_{L'} - z_L)} \\
 &= \sum_{m=0}^{\infty} I_m(z_0 - z_{L'}) \underbrace{\sum_{\ell=m}^{\infty} I_{\ell-m}(z_{L'} - z_L) L_{\ell}(z_L)}_{L_m(z_{L'})} \\
 &= \sum_{m=0}^{\infty} L_m(z_L) I_m(z_0 - z_L)
 \end{aligned}$$

$$\begin{aligned}
 \int_{\Gamma_0} t(z) G(z_0, z) ds_z &= \sum_{m=0}^{\infty} \sum_{\ell=m}^{\infty} L_{\ell}(z_L) \underbrace{\frac{(z_0 - z_{L'})^m}{m!}}_{I_m(z_0 - z_{L'})} \underbrace{\frac{(z_{L'} - z_L)^{\ell-m}}{(\ell-m)!}}_{I_{\ell-m}(z_{L'} - z_L)} \\
 &= \sum_{m=0}^{\infty} I_m(z_0 - z_{L'}) \underbrace{\sum_{\ell=m}^{\infty} I_{\ell-m}(z_{L'} - z_L) L_{\ell}(z_L)}_{L_m(z_{L'})} \\
 &= \sum_{m=0}^{\infty} L_m(z_L) I_m(z_0 - z_L)
 \end{aligned}$$

$$L_m(z_{L'}) = \sum_{\ell=m}^{\infty} I_{\ell-m}(z_{L'} - z_L) L_{\ell}(z_L) \quad (\spadesuit)$$



$$\begin{aligned}
 \int_{\Gamma_0} t(z) G(z_0, z) ds_z &= \sum_{m=0}^{\infty} \sum_{\ell=m}^{\infty} L_{\ell}(z_L) \underbrace{\frac{(z_0 - z_{L'})^m}{m!}}_{I_m(z_0 - z_{L'})} \underbrace{\frac{(z_{L'} - z_L)^{\ell-m}}{(\ell-m)!}}_{I_{\ell-m}(z_{L'} - z_L)} \\
 &= \sum_{m=0}^{\infty} I_m(z_0 - z_{L'}) \underbrace{\sum_{\ell=m}^{\infty} I_{\ell-m}(z_{L'} - z_L) L_{\ell}(z_L)}_{L_m(z_{L'})} \\
 &= \sum_{m=0}^{\infty} L_m(z_L) I_m(z_0 - z_L)
 \end{aligned}$$

$$L_m(z_{L'}) = \sum_{\ell=m}^{\infty} I_{\ell-m}(z_{L'} - z_L) L_{\ell}(z_L) \quad (\spadesuit)$$



- () ... **L2L posunutí**, když z_L je přesunut do $z_{L'}$

Expanze pro integrál s jádrem F

Potřebujeme vyjádřit:

- multipole expanze a multipole momenty,
- M2M posunutí,
- lokální expanze a M2L posunutí,
- L2L posunutí.

- Uvažujme integrál

$$\int_{\Gamma_0} u(y)F(x, y) ds_y,$$

$\Gamma_0 \subset \Gamma$ je „dost daleko“ od x

- Uvažujme integrál $\int_{\Gamma_0} u(y)F(x, y) ds_y$, $\Gamma_0 \subset \Gamma$ je „dost daleko“ od x
- Po zavedení komplexního označení $z_0 = x_1 + ix_2$ a $z = y_1 + iy_2$ máme $\operatorname{Re}\{G(z_0, z)\} = G(x, y)$;

- Uvažujme integrál $\int_{\Gamma_0} u(y)F(x, y) ds_y$, $\Gamma_0 \subset \Gamma$ je „dost daleko“ od x

- Po zavedení komplexního označení $z_0 = x_1 + ix_2$ a $z = y_1 + iy_2$ máme

$$\operatorname{Re}\{G(z_0, z)\} = G(x, y); \text{ dále}$$

$$F(z_0, z) = n(z) \cdot \frac{\partial G(z_0, z)}{\partial z}$$

- Uvažujme integrál $\int_{\Gamma_0} u(y)F(x, y) ds_y$, $\Gamma_0 \subset \Gamma$ je „dost daleko“ od x

- Po zavedení komplexního označení $z_0 = x_1 + ix_2$ a $z = y_1 + iy_2$ máme

$$\operatorname{Re}\{G(z_0, z)\} = G(x, y); \text{ dále}$$

$$F(z_0, z) = n(z) \cdot \frac{\partial G(z_0, z)}{\partial z} = (n_1(y) + in_2(y)) \cdot \left(\frac{\partial G(x, y)}{\partial y_1} - i \frac{\partial G(x, y)}{\partial y_2} \right)$$

- Uvažujme integrál $\int_{\Gamma_0} u(y)F(x, y) ds_y$, $\Gamma_0 \subset \Gamma$ je „dost daleko“ od x

- Po zavedení komplexního označení $z_0 = x_1 + ix_2$ a $z = y_1 + iy_2$ máme

$$\operatorname{Re}\{G(z_0, z)\} = G(x, y); \text{ dále}$$

$$\begin{aligned} F(z_0, z) &= n(z) \cdot \frac{\partial G(z_0, z)}{\partial z} = (n_1(y) + in_2(y)) \cdot \left(\frac{\partial G(x, y)}{\partial y_1} - i \frac{\partial G(x, y)}{\partial y_2} \right) = \\ &= \underbrace{n_1(y) \frac{\partial G(x, y)}{\partial y_1} + n_2(y) \frac{\partial G(x, y)}{\partial y_2}}_{n(y) \cdot \nabla_y G(x, y) = F(x, y)} + i \operatorname{Im}\{F(z_0, z)\} \end{aligned}$$

- Uvažujme integrál $\int_{\Gamma_0} u(y)F(x, y) ds_y$, $\Gamma_0 \subset \Gamma$ je „dost daleko“ od x

- Po zavedení komplexního označení $z_0 = x_1 + ix_2$ a $z = y_1 + iy_2$ máme

$$\operatorname{Re}\{G(z_0, z)\} = G(x, y); \text{ dále}$$

$$\begin{aligned} F(z_0, z) &= n(z) \cdot \frac{\partial G(z_0, z)}{\partial z} = (n_1(y) + in_2(y)) \cdot \left(\frac{\partial G(x, y)}{\partial y_1} - i \frac{\partial G(x, y)}{\partial y_2} \right) = \\ &= \underbrace{n_1(y) \frac{\partial G(x, y)}{\partial y_1} + n_2(y) \frac{\partial G(x, y)}{\partial y_2}}_{n(y) \cdot \nabla_y G(x, y) = F(x, y)} + i \operatorname{Im}\{F(z_0, z)\} \end{aligned}$$

- Tedy $\operatorname{Re}\{F(z_0, z)\} = F(x, y)$

- Uvažujme integrál $\int_{\Gamma_0} u(y)F(x, y) ds_y$, $\Gamma_0 \subset \Gamma$ je „dost daleko“ od x

- Po zavedení komplexního označení $z_0 = x_1 + ix_2$ a $z = y_1 + iy_2$ máme

$$\operatorname{Re}\{G(z_0, z)\} = G(x, y); \text{ dále}$$

$$\begin{aligned} F(z_0, z) &= n(z) \cdot \frac{\partial G(z_0, z)}{\partial z} = (n_1(y) + in_2(y)) \cdot \left(\frac{\partial G(x, y)}{\partial y_1} - i \frac{\partial G(x, y)}{\partial y_2} \right) = \\ &= \underbrace{n_1(y) \frac{\partial G(x, y)}{\partial y_1} + n_2(y) \frac{\partial G(x, y)}{\partial y_2}}_{n(y) \cdot \nabla_y G(x, y) = F(x, y)} + i \operatorname{Im}\{F(z_0, z)\} \end{aligned}$$

- Tedy $\operatorname{Re}\{F(z_0, z)\} = F(x, y)$ a

$$\int_{\Gamma_0} u(y)F(x, y) ds_y = \operatorname{Re} \left\{ \int_{\Gamma_0} u(z)F(z_0, z) ds_z \right\}$$

Multipole expanze a multipole momenty (pro F)

$$G(\mathbf{z}_0, \mathbf{z}) = \frac{1}{2\pi} \sum_{k=0}^{\infty} O_k(\mathbf{z}_0 - \mathbf{z}_c) I_k(\mathbf{z} - \mathbf{z}_c)$$

Multipole expanze a multipole momenty (pro F)

$$G(\mathbf{z}_0, \mathbf{z}) = \frac{1}{2\pi} \sum_{k=0}^{\infty} O_k(\mathbf{z}_0 - \mathbf{z}_c) I_k(\mathbf{z} - \mathbf{z}_c)$$

$$\frac{\partial G(\mathbf{z}_0, \mathbf{z})}{\partial \mathbf{z}} = \frac{1}{2\pi} \sum_{k=1}^{\infty} O_k(\mathbf{z}_0 - \mathbf{z}_c) I_{k-1}(\mathbf{z} - \mathbf{z}_c)$$

Multipole expanze a multipole momenty (pro F)

$$G(\mathbf{z}_0, \mathbf{z}) = \frac{1}{2\pi} \sum_{k=0}^{\infty} O_k(\mathbf{z}_0 - \mathbf{z}_c) I_k(\mathbf{z} - \mathbf{z}_c)$$

$$\frac{\partial G(\mathbf{z}_0, \mathbf{z})}{\partial \mathbf{z}} = \frac{1}{2\pi} \sum_{k=1}^{\infty} O_k(\mathbf{z}_0 - \mathbf{z}_c) I_{k-1}(\mathbf{z} - \mathbf{z}_c)$$

$$\int_{\Gamma_0} u(\mathbf{z}) F(\mathbf{z}_0, \mathbf{z}) ds_{\mathbf{z}} = \frac{1}{2\pi} \sum_{k=1}^{\infty} O_k(\mathbf{z}_0 - \mathbf{z}_c) N_k(\mathbf{z}_c) \quad (\Delta)$$

◀ G

▶ Step 3

$$N_k(\mathbf{z}_c) = \int_{\Gamma_0} n(\mathbf{z}) u(\mathbf{z}) I_{k-1}(\mathbf{z} - \mathbf{z}_c) ds_{\mathbf{z}} \quad (\Delta\Delta)$$

▶ pw linear

Multipole expanze a multipole momenty (pro F)

$$G(\mathbf{z}_0, \mathbf{z}) = \frac{1}{2\pi} \sum_{k=0}^{\infty} O_k(\mathbf{z}_0 - \mathbf{z}_c) I_k(\mathbf{z} - \mathbf{z}_c)$$

$$\frac{\partial G(\mathbf{z}_0, \mathbf{z})}{\partial \mathbf{z}} = \frac{1}{2\pi} \sum_{k=1}^{\infty} O_k(\mathbf{z}_0 - \mathbf{z}_c) I_{k-1}(\mathbf{z} - \mathbf{z}_c)$$

$$\int_{\Gamma_0} u(\mathbf{z}) F(\mathbf{z}_0, \mathbf{z}) ds_{\mathbf{z}} = \frac{1}{2\pi} \sum_{k=1}^{\infty} O_k(\mathbf{z}_0 - \mathbf{z}_c) N_k(\mathbf{z}_c) \quad (\Delta)$$

◀ G

▶ Step 3

$$N_k(\mathbf{z}_c) = \int_{\Gamma_0} n(\mathbf{z}) u(\mathbf{z}) I_{k-1}(\mathbf{z} - \mathbf{z}_c) ds_{\mathbf{z}} \quad (\Delta\Delta)$$

▶ pw linear

- (Δ) ... multipole expanze

Multipole expanze a multipole momenty (pro F)

$$G(\mathbf{z}_0, \mathbf{z}) = \frac{1}{2\pi} \sum_{k=0}^{\infty} O_k(\mathbf{z}_0 - \mathbf{z}_c) I_k(\mathbf{z} - \mathbf{z}_c)$$

$$\frac{\partial G(\mathbf{z}_0, \mathbf{z})}{\partial \mathbf{z}} = \frac{1}{2\pi} \sum_{k=1}^{\infty} O_k(\mathbf{z}_0 - \mathbf{z}_c) I_{k-1}(\mathbf{z} - \mathbf{z}_c)$$

$$\int_{\Gamma_0} u(\mathbf{z}) F(\mathbf{z}_0, \mathbf{z}) ds_{\mathbf{z}} = \frac{1}{2\pi} \sum_{k=1}^{\infty} O_k(\mathbf{z}_0 - \mathbf{z}_c) N_k(\mathbf{z}_c) \quad (\Delta)$$

◀ G

▶ Step 3

$$N_k(\mathbf{z}_c) = \int_{\Gamma_0} n(\mathbf{z}) u(\mathbf{z}) I_{k-1}(\mathbf{z} - \mathbf{z}_c) ds_{\mathbf{z}} \quad (\Delta\Delta)$$

▶ pw linear

- (Δ) ... **multipole expanze**
- $N_k(\mathbf{z}_c)$... **multipole momenty** v okolí \mathbf{z}_c

M2M posunutí (pro F)

Analogicky jako v případě jádra G odvodíme, že

$$N_k(z_{c'}) = \sum_{m=1}^k I_{k-m}(z_c - z_{c'}) N_m(z_c) \quad (\diamond)$$

◀ G

▶ Step 3

(\diamond) ... **M2M posunutí**, když z_c je přesunut do $z_{c'}$

Lokální expanze a M2L posunutí (pro F)

Analogicky jako v případě jádra G odvodíme, že

$$\int_{\Gamma_0} u(z) F(\mathbf{z}_0, z) ds_z = \sum_{\ell=0}^{\infty} \tilde{L}_{\ell}(\mathbf{z}_L) l_{\ell}(\mathbf{z}_0 - \mathbf{z}_L) \quad (\square) \quad \leftarrow G \quad \rightarrow \text{Step 5}$$

$$\tilde{L}_{\ell}(\mathbf{z}_L) = \frac{(-1)^{\ell}}{2\pi} \sum_{k=1}^{\infty} O_{\ell+k}(\mathbf{z}_L - \mathbf{z}_c) N_k(\mathbf{z}_c) \quad (\square\square) \quad \rightarrow \text{Step 4}$$

Lokální expanze a M2L posunutí (pro F)

Analogicky jako v případě jádra G odvodíme, že

$$\int_{\Gamma_0} u(z) F(\mathbf{z}_0, z) ds_z = \sum_{\ell=0}^{\infty} \tilde{L}_{\ell}(\mathbf{z}_L) I_{\ell}(\mathbf{z}_0 - \mathbf{z}_L) \quad (\square) \quad \leftarrow G \quad \rightarrow \text{Step 5}$$

$$\tilde{L}_{\ell}(\mathbf{z}_L) = \frac{(-1)^{\ell}}{2\pi} \sum_{k=1}^{\infty} O_{\ell+k}(\mathbf{z}_L - \mathbf{z}_c) N_k(\mathbf{z}_c) \quad (\square\square) \quad \rightarrow \text{Step 4}$$

- (\square) ... **lokální expanze**

Lokální expanze a M2L posunutí (pro F)

Analogicky jako v případě jádra G odvodíme, že

$$\int_{\Gamma_0} u(z) F(\mathbf{z}_0, z) ds_z = \sum_{\ell=0}^{\infty} \tilde{L}_{\ell}(\mathbf{z}_L) I_{\ell}(\mathbf{z}_0 - \mathbf{z}_L) \quad (\square) \quad \leftarrow G \quad \rightarrow \text{Step 5}$$

$$\tilde{L}_{\ell}(\mathbf{z}_L) = \frac{(-1)^{\ell}}{2\pi} \sum_{k=1}^{\infty} O_{\ell+k}(\mathbf{z}_L - \mathbf{z}_c) N_k(\mathbf{z}_c) \quad (\square\square) \quad \rightarrow \text{Step 4}$$

- (\square) ... **lokální expanze**
- $(\square\square)$... **M2L posunutí**

L2L posunutí (pro F)

Analogicky jako v případě jádra G odvodíme

$$\tilde{L}_m(\mathbf{z}_{L'}) = \sum_{\ell=m}^{\infty} I_{\ell-m}(\mathbf{z}_{L'} - \mathbf{z}_L) \tilde{L}_\ell(\mathbf{z}_L) \quad (\clubsuit)$$

◀ G

▶ Step 4

- (\clubsuit) ... L2L posunutí, když \mathbf{z}_L je přesunut do $\mathbf{z}_{L'}$

2D FMM BEM algoritmus

FMM algoritmus

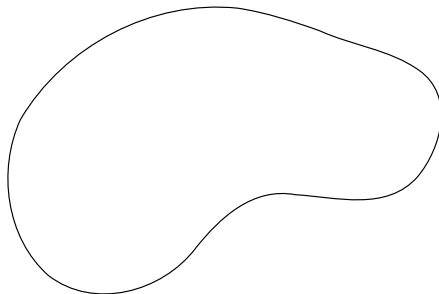
STEP 1: Diskretizace

Diskretizujeme Γ standardním způsobem jako u Conventional BEM (např. pomocí po částech konst. prvků).

FMM algoritmus

STEP 1: Diskretizace

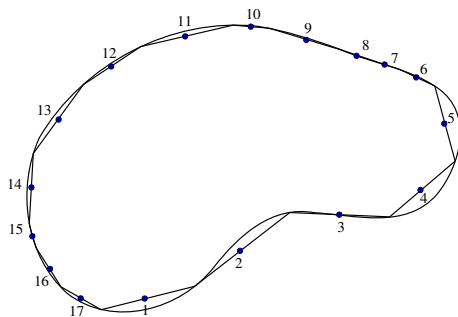
Diskretizujeme Γ standardním způsobem jako u Conventional BEM (např. pomocí po částech konst. prvků).



FMM algoritmus

STEP 1: Diskretizace

Diskretizujeme Γ standardním způsobem jako u Conventional BEM (např. pomocí Γ částech konst. prvků).



FMM algoritmus

STEP 2: Stromová struktura buněk (quad-tree)

FMM algoritmus

STEP 2: Stromová struktura buněk (quad-tree)

- 1 Uvažujme čtverec pokrývající celou hranici Γ ... **buňka úrovně 0**,

FMM algoritmus

STEP 2: Stromová struktura buněk (quad-tree)

- 1 Uvažujme čtverec pokrývající celou hranici Γ ... **buňka úrovně 0**,
- 2 dělíme **parent buňku** úrovně λ na 4 stejné **child buňky** úrovně $\lambda + 1$,

FMM algoritmus

STEP 2: Stromová struktura buněk (quad-tree)

- 1 Uvažujme čtverec pokrývající celou hranici Γ ... **buňka úrovně 0**,
- 2 dělíme **parent buňku** úrovně λ na 4 stejné **child buňky** úrovně $\lambda + 1$,
- 3 ukončíme dělení buňky, když obsahuje předem daný počet elementů,

FMM algoritmus

STEP 2: Stromová struktura buněk (quad-tree)

- 1 Uvažujme čtverec pokrývající celou hranici Γ ... **buňka úrovně 0**,
- 2 dělíme **parent buňku** úrovně λ na 4 stejné **child buňky** úrovně $\lambda + 1$,
- 3 ukončíme dělení buňky, když obsahuje předem daný počet elementů,
- 4 buňku nemající žádné child buňky nazýváme **list**.

FMM algoritmus

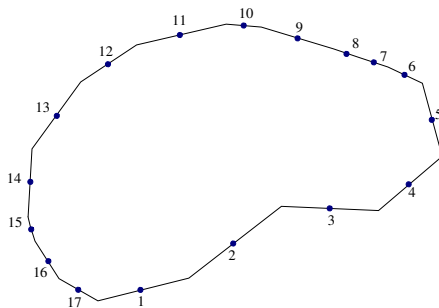
STEP 2: Stromová struktura buněk (quad-tree)

- 1 Uvažujme čtverec pokrývající celou hranici Γ ... **buňka úrovně 0**,
- 2 dělíme **parent buňku** úrovně λ na 4 stejné **child buňky** úrovně $\lambda + 1$,
- 3 ukončíme dělení buňky, když obsahuje předem daný počet elementů,
- 4 buňku nemající žádné child buňky nazýváme **list**.

Element je obsažen v buňce, pokud se v buňce nachází jeho střed.

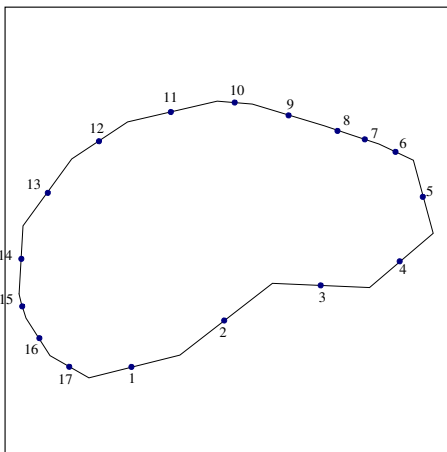
Ilustrace k vytvoření quad-tree

Maximální počet elementů v listové buňce je 1.



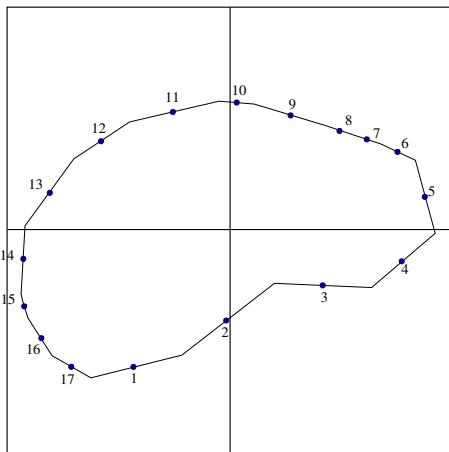
Ilustrace k vytvoření quad-tree

Maximální počet elementů v listové buňce je 1.



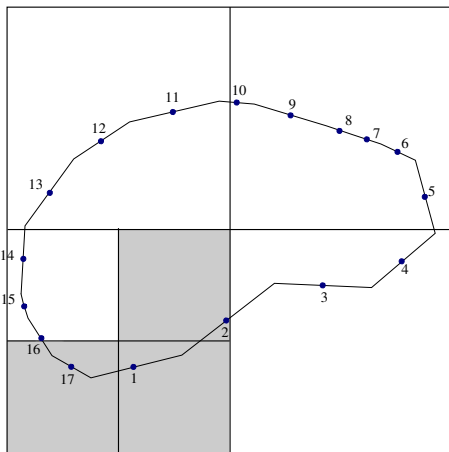
Ilustrace k vytvoření quad-tree

Maximální počet elementů v listové buňce je 1.



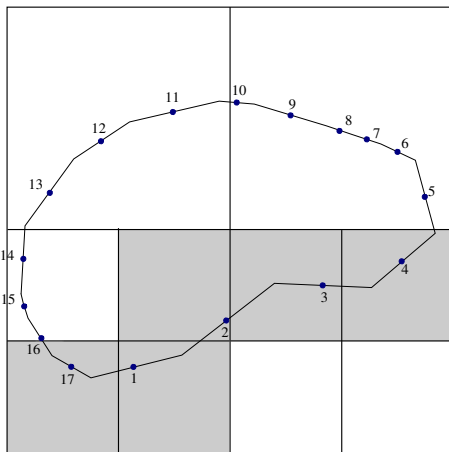
Ilustrace k vytvoření quad-tree

Maximální počet elementů v listové buňce je 1.



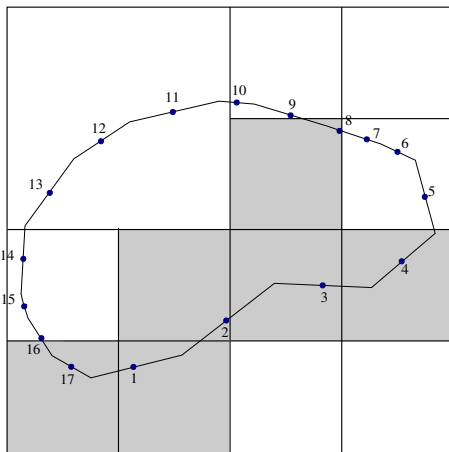
Ilustrace k vytvoření quad-tree

Maximální počet elementů v listové buňce je 1.



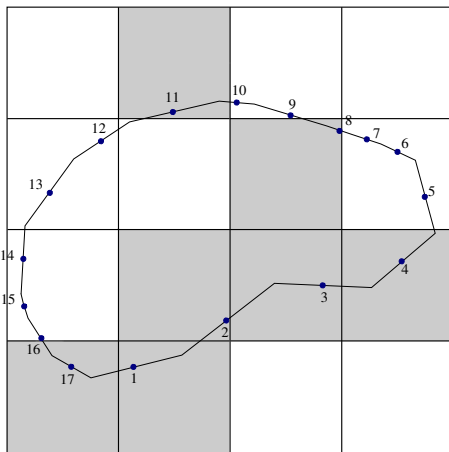
Ilustrace k vytvoření quad-tree

Maximální počet elementů v listové buňce je 1.



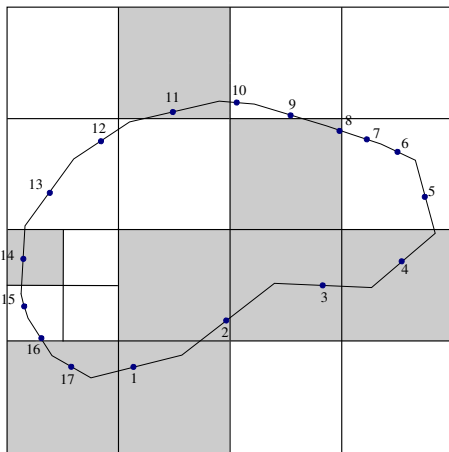
Ilustrace k vytvoření quad-tree

Maximální počet elementů v listové buňce je 1.



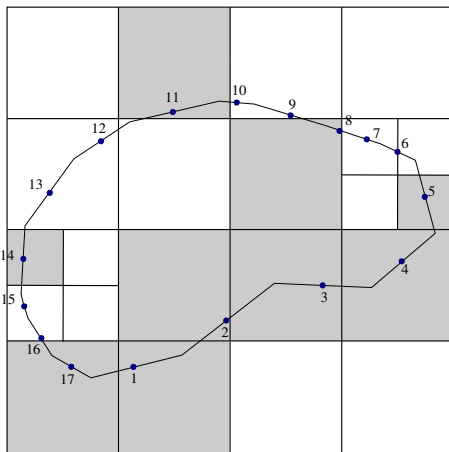
Ilustrace k vytvoření quad-tree

Maximální počet elementů v listové buňce je 1.



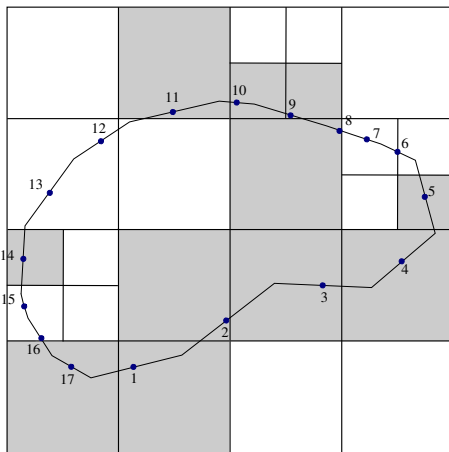
Ilustrace k vytvoření quad-tree

Maximální počet elementů v listové buňce je 1.



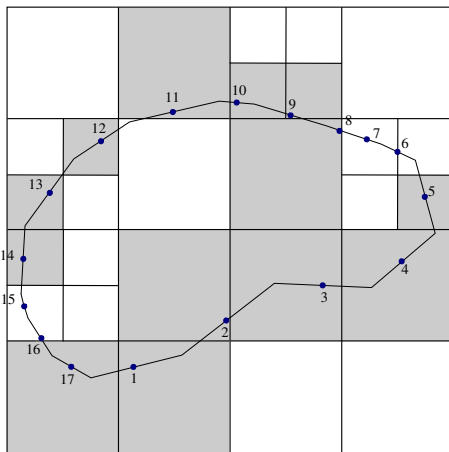
Ilustrace k vytvoření quad-tree

Maximální počet elementů v listové buňce je 1.



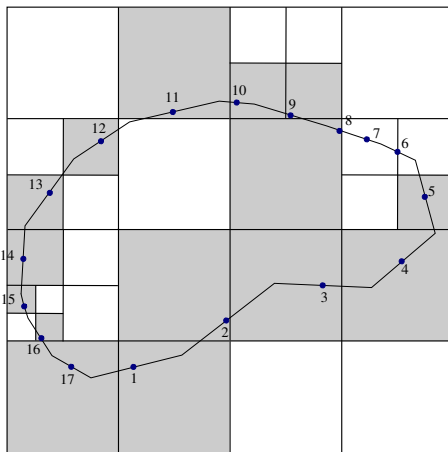
Ilustrace k vytvoření quad-tree

Maximální počet elementů v listové buňce je 1.



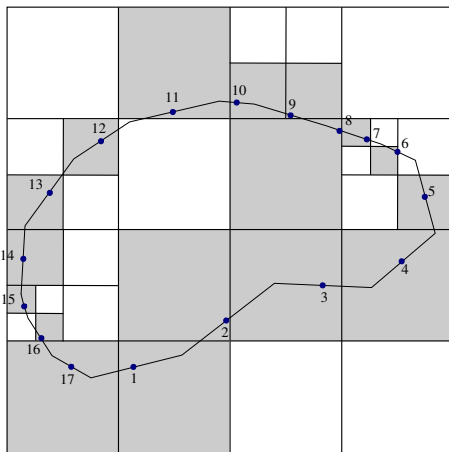
Ilustrace k vytvoření quad-tree

Maximální počet elementů v listové buňce je 1.

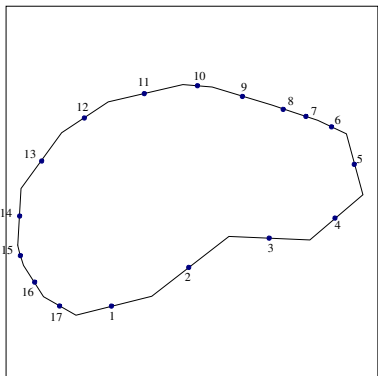


Ilustrace k vytvoření quad-tree

Maximální počet elementů v listové buňce je 1.



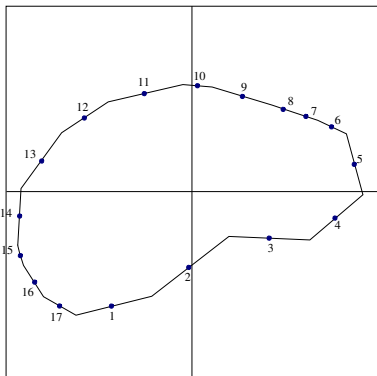
Ilustrace k vytvoření quad-tree



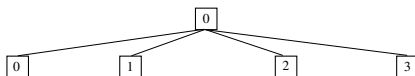
0

3	2
0	1

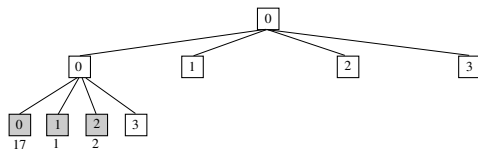
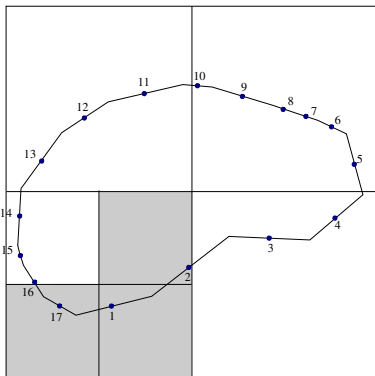
Ilustrace k vytvoření quad-tree



3	2
0	1

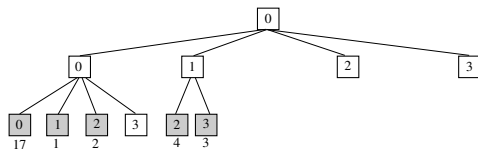
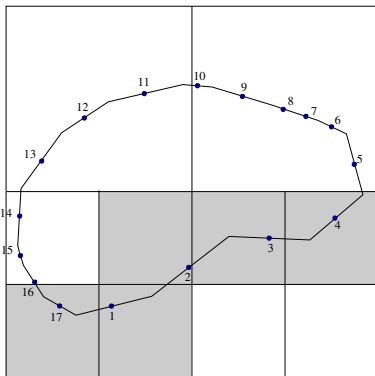


Ilustrace k vytvoření quad-tree



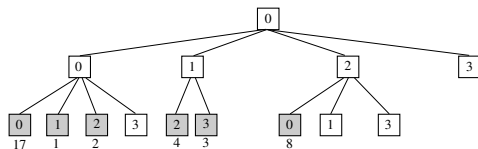
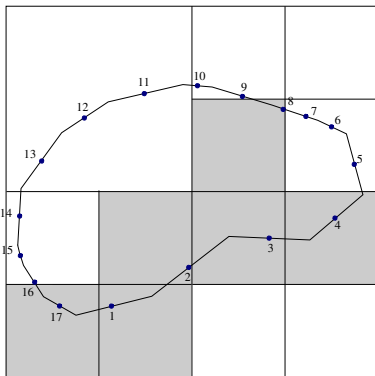
3	2
0	1

Ilustrace k vytvoření quad-tree



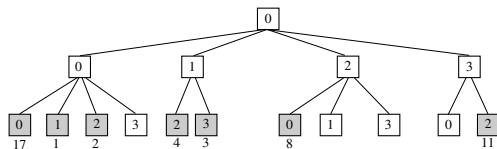
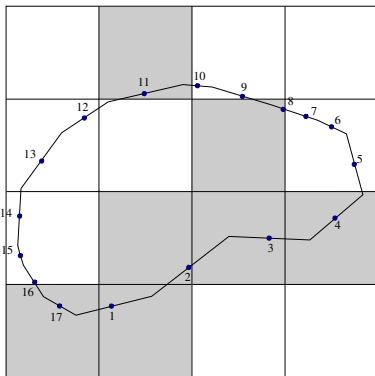
3	2
0	1

Ilustrace k vytvoření quad-tree



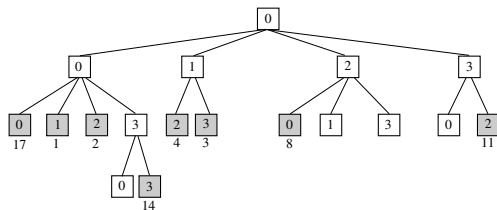
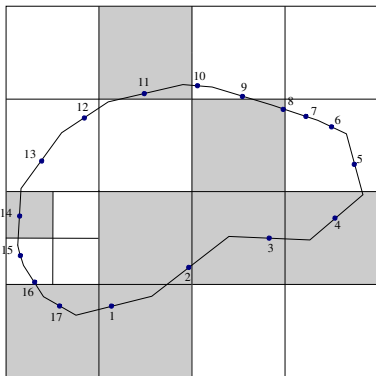
3	2
0	1

Ilustrace k vytvoření quad-tree



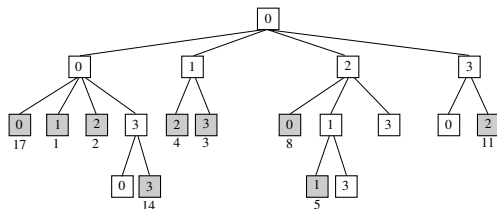
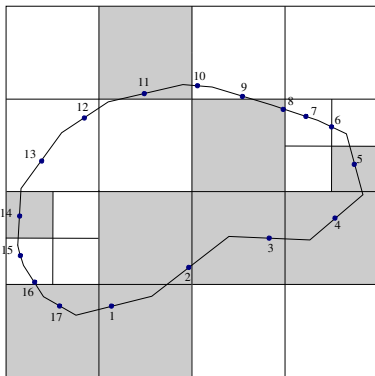
3	2
0	1

Ilustrace k vytvoření quad-tree



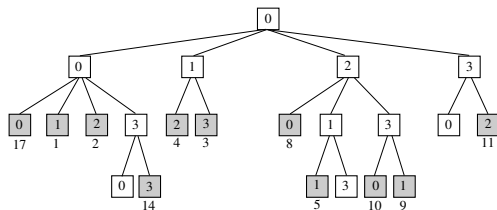
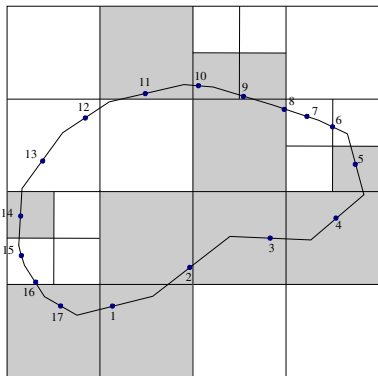
3	2
0	1

Ilustrace k vytvoření quad-tree



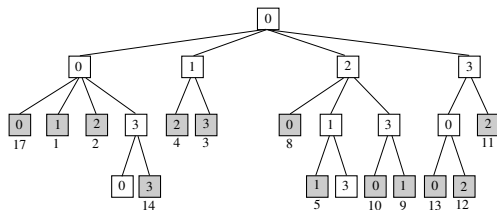
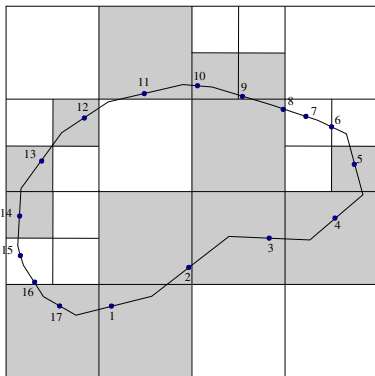
3	2
0	1

Ilustrace k vytvoření quad-tree



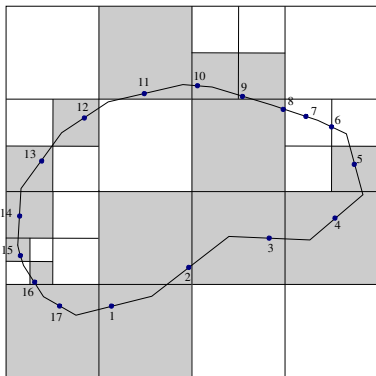
3	2
0	1

Ilustrace k vytvoření quad-tree

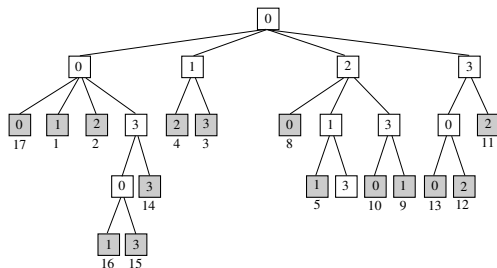


3	2
0	1

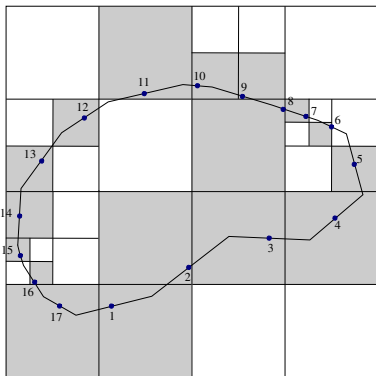
Ilustrace k vytvoření quad-tree



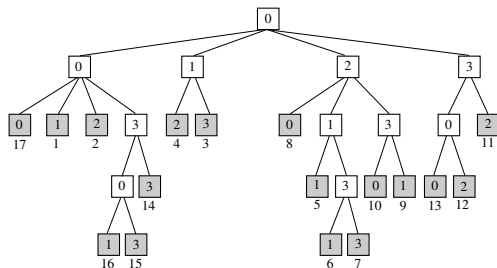
3	2
0	1



Ilustrace k vytvoření quad-tree



3	2
0	1



FMM algoritmus

STEP 3: Procházení nahoru (upward pass)

▶ Step 6

Vypočteme multipole momenty $M_k(\mathbf{z}_c)$, $N_k(\mathbf{z}_c)$ pro všechny buňky úrovně $\lambda \geq 2$ (\mathbf{z}_c je střed buňky), přičemž $k = (0, 1, 2, \dots, p)$ (p ... předem zvolený řád)

FMM algoritmus

STEP 3: Procházení nahoru (upward pass)

▶ Step 6

Vypočteme multipole momenty $M_k(\mathbf{z}_c)$, $N_k(\mathbf{z}_c)$ pro všechny buňky úrovně $\lambda \geq 2$ (\mathbf{z}_c je střed buňky), přičemž $k = (0, 1, 2, \dots, p)$ (p ... předem zvolený řád)

- pro list: použijeme vzorečky (**), ($\Delta\Delta$), kde Γ_0 je sjednocení elementů v listu obsažených, $\leftarrow M_k(\mathbf{z}_c), N_k(\mathbf{z}_c)$

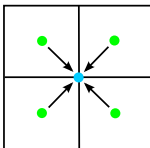
FMM algoritmus

STEP 3: Procházení nahoru (upward pass)

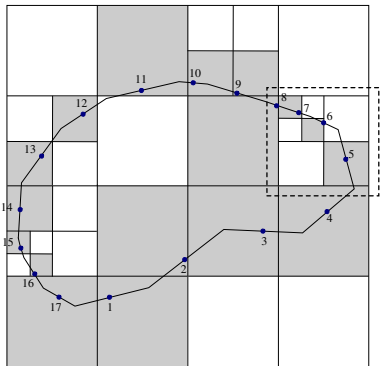
▶ Step 6

Vypočteme multipole momenty $M_k(z_c)$, $N_k(z_c)$ pro všechny buňky úrovně $\lambda \geq 2$ (z_c je střed buňky), přičemž $k = (0, 1, 2, \dots, p)$ ($p \dots$ předem zvolený řád)

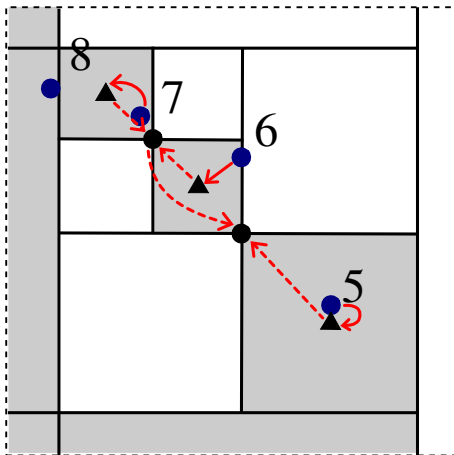
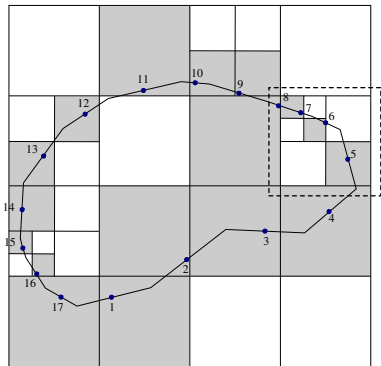
- pro list: použijeme vzorečky $(**)$, $(\triangle\triangle)$, kde Γ_0 je sjednocení elementů v listu obsažených, $\triangleleft M_k(z_c), N_k(z_c)$
- pro parent buňku: moment kolem $z_{c'}$ ($z_{c'}$ je střed parent buňky) vypočteme jako sumu příspěvků všech child buněk (tyto vypočteme pomocí M2M posunutí (\bullet) , (\diamond)). $\triangleleft M_k(z_{c'}), N_k(z_{c'})$



Ilustrace k výpočtu multipole momentů



Ilustrace k výpočtu multipole momentů



→ přímý výpočet pomocí $(**)$, $(\Delta\Delta)$

- - - → M2M posunutí (\bullet) , (\diamond)

FMM algoritmus

STEP 4: Procházení dolů (downward pass)

Dvě buňky nazveme

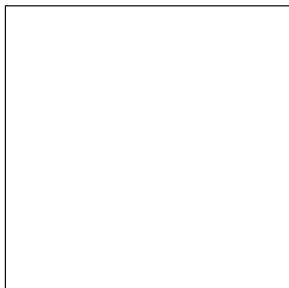
- **sousední (adjacent)**, pokud jsou na stejné úrovni a sdílí alespoň 1 vrchol,
- **dobře separované (well-separated)**, jestliže nejsou sousední, ale jejich rodiče jsou sousední. Množinu všech dobře separovaných buněk vůči buňce C nazveme **interakční seznam (interaction list)** buňky C .

FMM algoritmus

STEP 4: Procházení dolů (downward pass)

Dvě buňky nazveme

- **sousední (ajacent)**, pokud jsou na stejné úrovni a sdílí alespoň 1 vrchol,
- **dobře separované (well-separated)**, jestliže nejsou sousední, ale jejich rodiče jsou sousední. Množinu všech dobře separovaných buněk vůči buňce C nazveme **interakční seznam (interaction list)** buňky C .

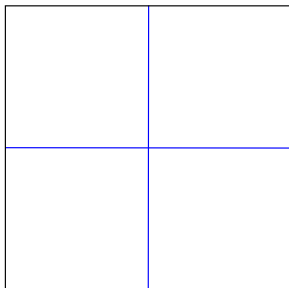


FMM algoritmus

STEP 4: Procházení dolů (downward pass)

Dvě buňky nazveme

- **sousední (adjacent)**, pokud jsou na stejné úrovni a sdílí alespoň 1 vrchol,
- **dobře separované (well-separated)**, jestliže nejsou sousední, ale jejich rodiče jsou sousední. Množinu všech dobře separovaných buněk vůči buňce C nazveme **interakční seznam (interaction list)** buňky C .

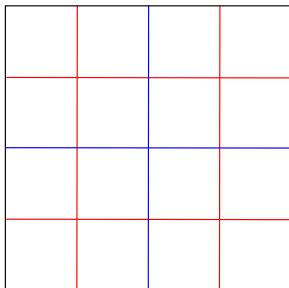


FMM algoritmus

STEP 4: Procházení dolů (downward pass)

Dvě buňky nazveme

- **sousední (adjacent)**, pokud jsou na stejné úrovni a sdílí alespoň 1 vrchol,
- **dobře separované (well-separated)**, jestliže nejsou sousední, ale jejich rodiče jsou sousední. Množinu všech dobře separovaných buněk vůči buňce C nazveme **interakční seznam (interaction list)** buňky C .

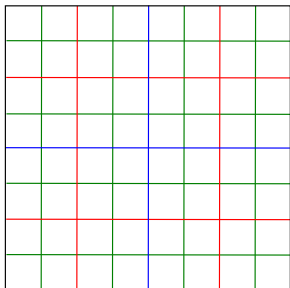


FMM algoritmus

STEP 4: Procházení dolů (downward pass)

Dvě buňky nazveme

- **sousední (ajacent)**, pokud jsou na stejné úrovni a sdílí alespoň 1 vrchol,
- **dobře separované (well-separated)**, jestliže nejsou sousední, ale jejich rodiče jsou sousední. Množinu všech dobře separovaných buněk vůči buňce C nazveme **interakční seznam (interaction list)** buňky C .

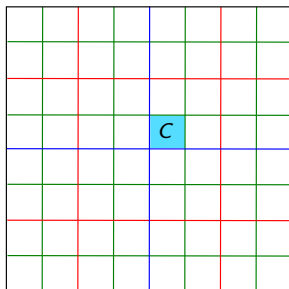


FMM algoritmus

STEP 4: Procházení dolů (downward pass)

Dvě buňky nazveme

- **sousední (adjacent)**, pokud jsou na stejné úrovni a sdílí alespoň 1 vrchol,
- **dobře separované (well-separated)**, jestliže nejsou sousední, ale jejich rodiče jsou sousední. Množinu všech dobře separovaných buněk vůči buňce C nazveme **interakční seznam (interaction list)** buňky C .

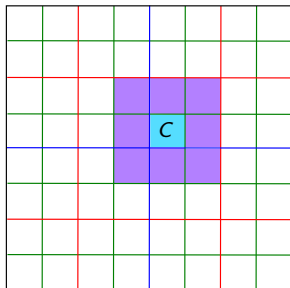


FMM algoritmus

STEP 4: Procházení dolů (downward pass)

Dvě buňky nazveme

- **sousední (ajacent)**, pokud jsou na stejné úrovni a sdílí alespoň 1 vrchol,
- **dobře separované (well-separated)**, jestliže nejsou sousední, ale jejich rodiče jsou sousední. Množinu všech dobře separovaných buněk vůči buňce C nazveme **interakční seznam (interaction list)** buňky C .



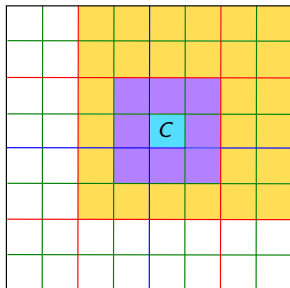
Max. počet **sousedních buněk** C : 8.

FMM algoritmus

STEP 4: Procházení dolů (downward pass)

Dvě buňky nazveme

- **sousední (adjacent)**, pokud jsou na stejné úrovni a sdílí alespoň 1 vrchol,
- **dobře separované (well-separated)**, jestliže nejsou sousední, ale jejich rodiče jsou sousední. Množinu všech dobře separovaných buněk vůči buňce C nazveme **interakční seznam (interaction list)** buňky C .



Max. počet **sousedních buněk** C : 8.

Max. počet **dobře separ. buněk** vůči C : $6^2 - 3^2 = 27$.

STEP 4

Vypočteme koeficienty $L_\ell(z_L)$, $\tilde{L}_\ell(z_L)$ lokální expanze příslušející buňce C (z_L je střed C)

STEP 4

Vypočteme koeficienty $L_\ell(z_L)$, $\tilde{L}_\ell(z_L)$ lokální expanze příslušející buňce C (z_L je střed C) jako součet

- sumy příspěvků buněk z interakčního seznamu C (tyto spočteme pomocí M2L posunutí $(\circ\circ)$, $(\square\square)$, kde z_c je střed dobře separované buňky vůči C)

◀ $L_\ell(z_L), \tilde{L}_\ell(z_L)$

STEP 4

Vypočteme koeficienty $L_\ell(z_L)$, $\tilde{L}_\ell(z_L)$ lokální expanze příslušející buňce C (z_L je střed C) jako součet

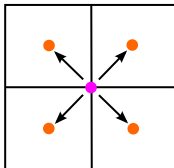
- sumy příspěvků buněk z interakčního seznamu C (tyto spočteme pomocí M2L posunutí ($\circ\circ$), ($\square\square$), kde z_C je střed dobře separované buňky vůči C)

◀ $L_\ell(z_L), \tilde{L}_\ell(z_L)$

a

- sumy příspěvků buněk stejné úrovně jako C , jejichž parent buňka nesousedí s parent buňkou C (tuto vypočteme pomocí L2L posunutí (\spadesuit), (\clubsuit), kde $z_{L'}$ je střed parent buňky C).

◀ $L_\ell(z_{L'}), \tilde{L}_\ell(z_{L'})$



STEP 4

Vypočteme koeficienty $L_\ell(z_L)$, $\tilde{L}_\ell(z_L)$ lokální expanze příslušející buňce C (z_L je střed C) jako součet

- sumy příspěvků buněk z interakčního seznamu C (tyto spočteme pomocí M2L posunutí ($\circ\circ$), ($\square\square$), kde z_C je střed dobře separované buňky vůči C)

◀ $L_\ell(z_L), \tilde{L}_\ell(z_L)$

a

- sumy příspěvků buněk stejné úrovně jako C , jejichž parent buňka nesousedí s parent buňkou C (tuto vypočteme pomocí L2L posunutí (\spadesuit), (\clubsuit), kde $z_{L'}$ je střed parent buňky C).

◀ $L_\ell(z_{L'}), \tilde{L}_\ell(z_{L'})$

Výpočet koeficientů (pro $\ell = 1, 2, \dots, q$, kde q je předem zvolený řád) je proveden pro všechny buňky, přičemž začínáme úrovní $\lambda = 2$ a strom procházíme postupně dolů až k listům.

STEP 4

Vypočteme koeficienty $L_\ell(z_L)$, $\tilde{L}_\ell(z_L)$ lokální expanze příslušející buňce C (z_L je střed C) jako součet

- sumy příspěvků buněk z interakčního seznamu C (tyto spočteme pomocí M2L posunutí ($\circ\circ$), ($\square\square$), kde z_c je střed dobře separované buňky vůči C)

◀ $L_\ell(z_L), \tilde{L}_\ell(z_L)$

a

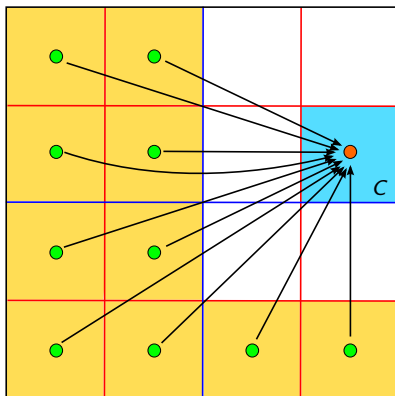
- sumy příspěvků buněk stejné úrovně jako C , jejichž parent buňka nesousedí s parent buňkou C (tuto vypočteme pomocí L2L posunutí (\spadesuit), (\clubsuit), kde $z_{L'}$ je střed parent buňky C).

◀ $L_\ell(z_{L'}), \tilde{L}_\ell(z_{L'})$

Výpočet koeficientů (pro $\ell = 1, 2, \dots, q$, kde q je předem zvolený řád) je proveden pro všechny buňky, přičemž začínáme úrovní $\lambda = 2$ a strom procházíme postupně dolů až k listům.

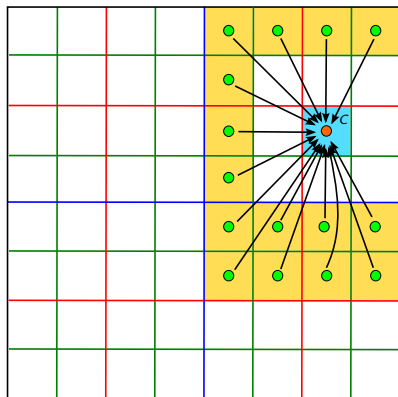
Pro buňku na úrovni 2 je výpočet koeficientů realizován pouze pomocí M2L posunutí.

$$\lambda = 2$$



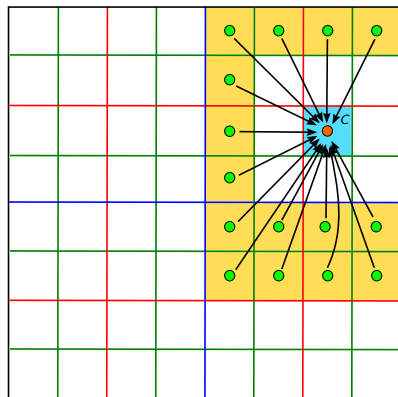
M2L

$$\lambda = 3$$

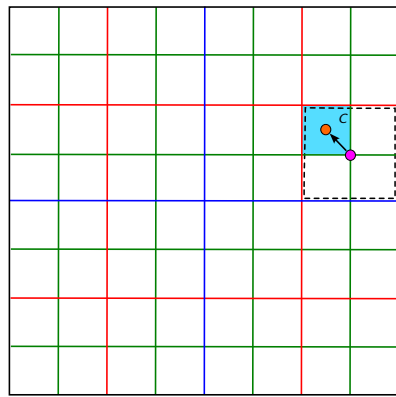


M2L

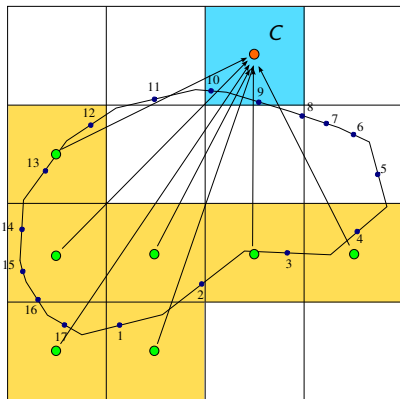
$$\lambda = 3$$



+

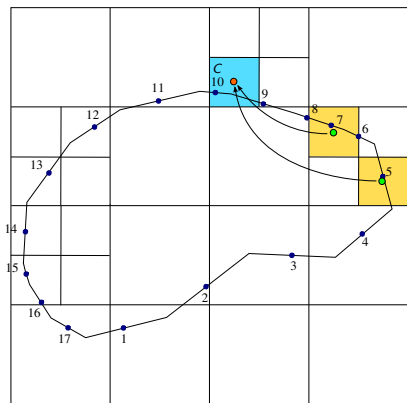


$$\lambda = 2$$

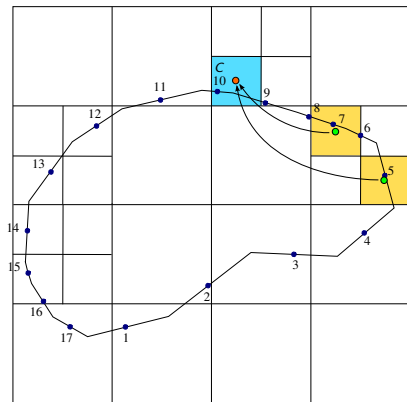


M2L

$$\lambda = 3$$

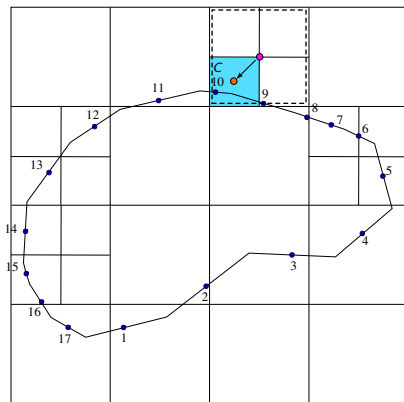


M2L

$\lambda = 3$ 

M2L

+



L2L

FMM algoritmus

STEP 5: Vyčíslení integrálů

Pro daný kolokační uzel $z_0 \in \Gamma$ se zabýváme výpočtem

$$\int_{\Gamma} t(z) G(z_0, z) ds_z \quad \text{a} \quad \int_{\Gamma} u(z) F(z_0, z) ds_z.$$

▶ Dirichletova úloha

FMM algoritmus

STEP 5: Vyčíslení integrálů

Pro daný kolokační uzel $z_0 \in \Gamma$ se zabýváme výpočtem

$$\int_{\Gamma} t(z) G(z_0, z) ds_z \quad \text{a} \quad \int_{\Gamma} u(z) F(z_0, z) ds_z.$$

► Dirichletova úloha

Nechť z_0 je obsažen v buňce C a necht' C' je sousední k C .

FMM algoritmus

STEP 5: Vyčíslení integrálů

Pro daný kolokační uzel $z_0 \in \Gamma$ se zabýváme výpočtem

$$\int_{\Gamma} t(z) G(z_0, z) ds_z \quad \text{a} \quad \int_{\Gamma} u(z) F(z_0, z) ds_z.$$

► Dirichletova úloha

Nechť z_0 je obsažen v buňce C a necht' C' je sousední k C . Pak

- 1 příspěvek z elementů v C' vypočteme přímo (klasicky), pokud C nebo C' je list;

FMM algoritmus

STEP 5: Vyčíslení integrálů

Pro daný kolokační uzel $z_0 \in \Gamma$ se zabýváme výpočtem

$$\int_{\Gamma} t(z)G(z_0, z) ds_z \quad \text{a} \quad \int_{\Gamma} u(z)F(z_0, z) ds_z.$$

► Dirichletova úloha

Nechť z_0 je obsažen v buňce C a necht' C' je sousední k C . Pak

- 1 příspěvek z elementů v C' vypočteme přímo (klasicky), pokud C nebo C' je list;
- 2 pokud C je list, vypočteme příspěvek ze „vzdálených“ elementů pomocí lokální expanze (použijeme již vypočtené koeficienty $L_\ell(z_L)$ a $\tilde{L}_\ell(z_L)$, kde z_L je střed C) ◀ lok. expanze a příspěvek z elementů v C vypočteme přímo (klasicky).

FMM algoritmus

STEP 5: Vyčíslení integrálů

Pro daný kolokační uzel $z_0 \in \Gamma$ se zabýváme výpočtem

$$\int_{\Gamma} t(z)G(z_0, z) ds_z \quad \text{a} \quad \int_{\Gamma} u(z)F(z_0, z) ds_z.$$

▸ Dirichletova úloha

Nechť z_0 je obsažen v buňce C a necht' C' je sousední k C . Pak

- 1 příspěvek z elementů v C' vypočteme přímo (klasicky), pokud C nebo C' je list;
- 2 pokud C je list, vypočteme příspěvek ze „vzdálených“ elementů pomocí lokální expanze (použijeme již vypočtené koeficienty $L_\ell(z_L)$ a $\tilde{L}_\ell(z_L)$, kde z_L je střed C) ◀ lok. expanze a příspěvek z elementů v C vypočteme přímo (klasicky).

Součet všech těchto příspěvků je pak roven příslušnému integrálu.

FMM algoritmus

STEP 5: Vyčíslení integrálů

Pro daný kolokační uzel $z_0 \in \Gamma$ se zabýváme výpočtem

$$\int_{\Gamma} t(z)G(z_0, z) ds_z \quad \text{a} \quad \int_{\Gamma} u(z)F(z_0, z) ds_z.$$

► Dirichletova úloha

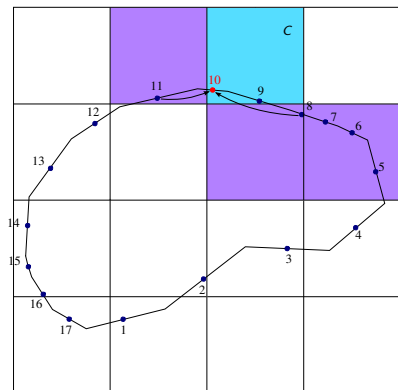
Nechť z_0 je obsažen v buňce C a necht' C' je sousední k C . Pak

- 1 příspěvek z elementů v C' vypočteme přímo (klasicky), pokud C nebo C' je list;
- 2 pokud C je list, vypočteme příspěvek ze „vzdálených“ elementů pomocí lokální expanze (použijeme již vypočtené koeficienty $L_\ell(z_L)$ a $\tilde{L}_\ell(z_L)$, kde z_L je střed C) ◀ lok. expanze a příspěvek z elementů v C vypočteme přímo (klasicky).

Součet všech těchto příspěvků je pak roven příslušnému integrálu.

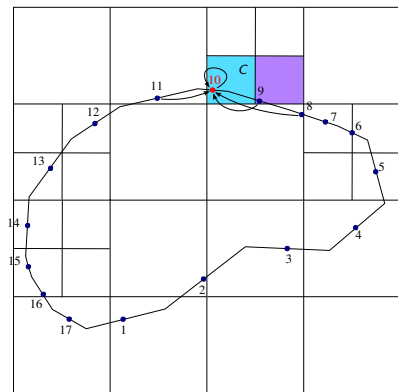
Strom procházíme postupně dolů od levelu $\lambda = 2$.

Kolokační uzel z_0 : 10



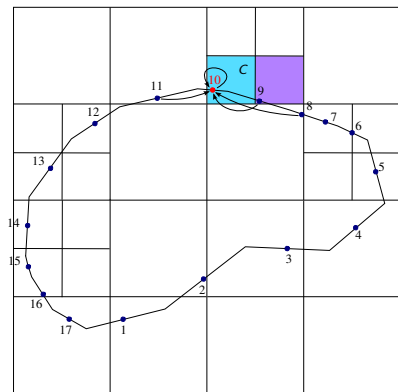
Přímý (klasický) výpočet, $\lambda = 2$

Kolokační uzel z_0 : 10

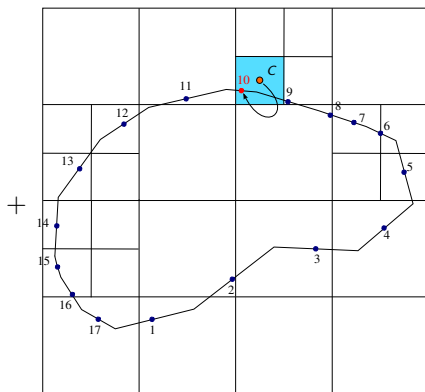


Přímý (klasický) výpočet, $\lambda = 3$

Kolokační uzel z_0 : 10



Přímý (klasický) výpočet, $\lambda = 3$



Lokální expanze

FMM algoritmus

STEP 6: Iterace řešení

Vypočteme novou iteraci řešení a pokračujeme krokem 3.

◀ Step 3

Numerické experimenty

2D Dirichletova úloha s Laplaceovou rovnicí

$$\begin{aligned}\Delta u &= 0 \text{ v } \Omega \\ u &= h \text{ na } \Gamma\end{aligned}$$

◀ smíšená úloha ($\Gamma_1 = \Gamma, \Gamma_2 = \emptyset, h_1 = h$)

2D Dirichletova úloha s Laplaceovou rovnicí

$$\boxed{\begin{aligned} \Delta u &= 0 \text{ v } \Omega \\ u &= h \text{ na } \Gamma \end{aligned}} \quad \leftarrow \text{smíšená úloha} \quad (\Gamma_1 = \Gamma, \Gamma_2 = \emptyset, h_1 = h)$$

Diskretizací 1. hraniční rovnice kolokací s po částech konst. hraničními prvky získáme:

$$\int_{\Gamma} t(y) G(x_i, y) ds_y = \frac{1}{2} h(x_i) + \int_{\Gamma} h(y) F(x_i, y) ds_y, \quad i = 1, \dots, N,$$

kde

$$t(y) \approx \sum_{j=1}^N t_j \psi_j(y), \quad h(y) \approx \sum_{j=1}^N h_j \psi_j(y) \quad \text{a} \quad x_i \text{ je } i\text{-tý kolokační uzel.}$$

2D Dirichletova úloha s Laplaceovou rovnicí

$$\boxed{\begin{aligned}\Delta u &= 0 \text{ v } \Omega \\ u &= h \text{ na } \Gamma\end{aligned}} \quad \leftarrow \text{smíšená úloha} \quad (\Gamma_1 = \Gamma, \Gamma_2 = \emptyset, h_1 = h)$$

Diskretizací 1. hraniční rovnice kolokací s po částech konst. hraničními prvky získáme:

$$\int_{\Gamma} t(y) G(x_i, y) ds_y = \frac{1}{2} h(x_i) + \int_{\Gamma} h(y) F(x_i, y) ds_y, \quad i = 1, \dots, N,$$

kde

$$t(y) \approx \sum_{j=1}^N t_j \psi_j(y), \quad h(y) \approx \sum_{j=1}^N h_j \psi_j(y) \quad \text{a} \quad x_i \text{ je } i\text{-tý kolokační uzel.}$$

Pro řešení výše uvedeného systému použijeme vhodný iterační algoritmus s počáteční aproximací $\mathbf{t}^0 = (t_j^0)_{j=1}^N$, přičemž násobení maticí tuhosti a výpočet pravé strany bude realizováno pomocí FMM-BEM.

- Pro $i = 1, \dots, N$ je třeba vyčíslit

$$\int_{\Gamma} h(y) F(x_i, y) ds_y,$$

- pro danou aproximaci $\mathbf{t}^\alpha = (t_j^\alpha)_{j=1}^N$ a $i = 1, \dots, N$ je třeba vyčíslit

$$\int_{\Gamma} t^\alpha(y) G(x_i, y) ds_y, \quad \text{kde} \quad t^\alpha(y) = \sum_{j=1}^N t_j^\alpha \psi_j(y).$$

Numerické výsledky pro Dirichletovu úlohu na kruhu

- Zvolená data úlohy: $\Omega = \{x \in \mathbb{R}^2 : \|x\| < 1\}$
 $h(x) = x_1 + x_2$

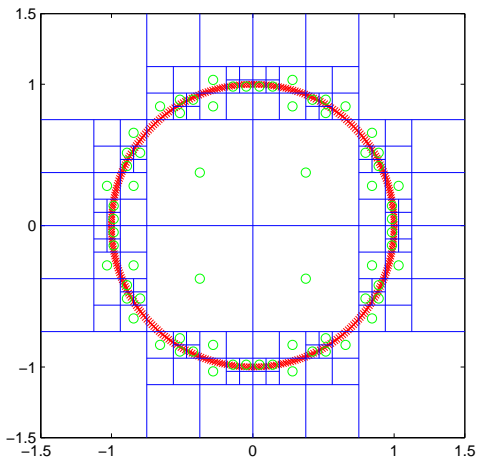
Numerické výsledky pro Dirichletovu úlohu na kruhu

- Zvolená data úlohy: $\Omega = \{x \in \mathbb{R}^2 : \|x\| < 1\}$
 $h(x) = x_1 + x_2$
- Analytické řešení úlohy: $u(x) = x_1 + x_2$ pro $x \in \overline{\Omega}$
 $t(x) = u(x)$ pro $x \in \Gamma$

Numerické výsledky pro Dirichletovu úlohu na kruhu

- Zvolená data úlohy: $\Omega = \{x \in \mathbb{R}^2 : \|x\| < 1\}$
 $h(x) = x_1 + x_2$
- Analytické řešení úlohy: $u(x) = x_1 + x_2$ pro $x \in \overline{\Omega}$
 $t(x) = u(x)$ pro $x \in \Gamma$
- Parametry: max. 10 elementů v listu
 $p = q = 19$
GMRES s přesností 10^{-8}
všechny integrály vyčísleny analyticky

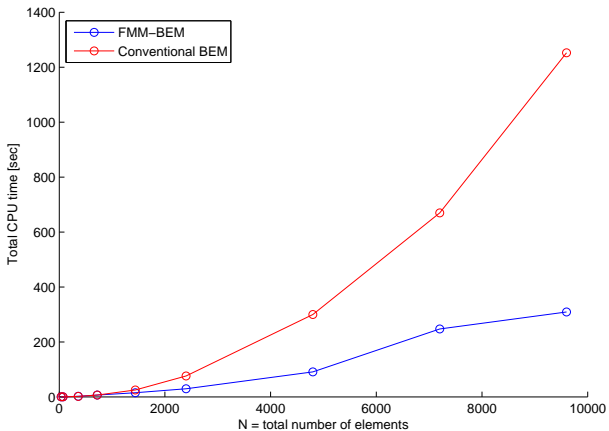
Buňky pro $N = 360$



Numerické výsledky pro Dirichletovu úlohu na kruhu

N	$\ \mathbf{t} - \mathbf{t}_{\text{exact}}\ / \ \mathbf{t}_{\text{exact}}\ $	
	FMM-BEM	Conv. BEM
36	$6,4 \cdot 10^{-3}$	$6,4 \cdot 10^{-3}$
72	$1,6 \cdot 10^{-3}$	$1,6 \cdot 10^{-3}$
360	$6,3 \cdot 10^{-5}$	$6,3 \cdot 10^{-5}$
720	$1,6 \cdot 10^{-5}$	$1,6 \cdot 10^{-5}$
1400	$4,2 \cdot 10^{-6}$	$4,2 \cdot 10^{-6}$
2400	$1,4 \cdot 10^{-6}$	$1,4 \cdot 10^{-6}$
4800	$3,6 \cdot 10^{-7}$	$3,6 \cdot 10^{-7}$
7200	$1,6 \cdot 10^{-7}$	$1,6 \cdot 10^{-7}$
9600	$8,9 \cdot 10^{-8}$	$8,9 \cdot 10^{-8}$

Numerické výsledky pro Dirichletovu úlohu na kruhu



2D smíšená úloha s Laplaceovou rovnicí

Vraťme se ke smíšené úloze z počátku: [◀ smíšená úloha](#)

2D smíšená úloha s Laplaceovou rovnicí

Vraťme se ke smíšené úloze z počátku: [◀ smíšená úloha](#)

Diskretizací 1. hraniční rovnice kolokací (s po částech konst. hraničními prvky) získáme:

$$\frac{1}{2}u(x_i) = \int_{\Gamma} t(y)G(x_i, y) ds_y - \int_{\Gamma} u(y)F(x_i, y) ds_y, \quad i = 1, \dots, N,$$

přičemž hledáme (uzlové hodnoty) u na Γ_2 a t na Γ_1 .

2D smíšená úloha s Laplaceovou rovnicí

Vraťme se ke smíšené úloze z počátku: ◀ smíšená úloha

Diskretizací 1. hraniční rovnice kolokací (s po částech konst. hraničními prvky) získáme:

$$\frac{1}{2}u(x_i) = \int_{\Gamma} t(y)G(x_i, y) ds_y - \int_{\Gamma} u(y)F(x_i, y) ds_y, \quad i = 1, \dots, N,$$

přičemž hledáme (uzlové hodnoty) u na Γ_2 a t na Γ_1 .

Pro $x_i \in \Gamma_2$:

$$\frac{1}{2}u(x_i) + \int_{\Gamma_2} u F(x_i, \cdot) - \int_{\Gamma_1} t G(x_i, \cdot) = - \int_{\Gamma_1} h_1 F(x_i, \cdot) + \int_{\Gamma_2} h_2 G(x_i, \cdot)$$

2D smíšená úloha s Laplaceovou rovnicí

Vraťme se ke smíšené úloze z počátku: ◀ smíšená úloha

Diskretizací 1. hraniční rovnice kolokací (s po částech konst. hraničními prvky) získáme:

$$\frac{1}{2}u(x_i) = \int_{\Gamma} t(y)G(x_i, y) ds_y - \int_{\Gamma} u(y)F(x_i, y) ds_y, \quad i = 1, \dots, N,$$

přičemž hledáme (uzlové hodnoty) u na Γ_2 a t na Γ_1 .

Pro $x_i \in \Gamma_2$:

$$\frac{1}{2}u(x_i) + \int_{\Gamma_2} u F(x_i, \cdot) - \int_{\Gamma_1} t G(x_i, \cdot) = - \int_{\Gamma_1} h_1 F(x_i, \cdot) + \int_{\Gamma_2} h_2 G(x_i, \cdot)$$

Pro $x_i \in \Gamma_1$:

$$\int_{\Gamma_2} u F(x_i, \cdot) - \int_{\Gamma_1} t G(x_i, \cdot) = -\frac{1}{2}h_1(x_i) - \int_{\Gamma_1} h_1 F(x_i, \cdot) + \int_{\Gamma_2} h_2 G(x_i, \cdot)$$

- Hledané řešení:

$$\begin{pmatrix} \mathbf{u}_N \\ \mathbf{t}_D \end{pmatrix},$$

kde \mathbf{u}_N ... vektor uzlových hodnot u na Γ_2 ,

\mathbf{t}_D ... vektor uzlových hodnot t na Γ_1 .

- Hledané řešení:

$$\begin{pmatrix} \mathbf{u}_N \\ \mathbf{t}_D \end{pmatrix},$$

kde \mathbf{u}_N ... vektor uzlových hodnot u na Γ_2 ,

\mathbf{t}_D ... vektor uzlových hodnot t na Γ_1 .

- Pro řešení uvedeného systému použijeme vhodný iterační algoritmus, přičemž násobení maticí tuhosti a výpočet pravé strany bude realizováno pomocí FMM-BEM.

- Hledané řešení:

$$\begin{pmatrix} \mathbf{u}_N \\ \mathbf{t}_D \end{pmatrix},$$

kde \mathbf{u}_N ... vektor uzlových hodnot u na Γ_2 ,

\mathbf{t}_D ... vektor uzlových hodnot t na Γ_1 .

- Pro řešení uvedeného systému použijeme vhodný iterační algoritmus, přičemž násobení maticí tuhosti a výpočet pravé strany bude realizováno pomocí FMM-BEM.
- U přímého výpočtu multipole momentů či přímého výpočtu příspěvků ve Stepu 5 „volíme vzorečky pro jádro G či F “ dle toho, na jaké části hranice se příslušný element nachází.

Numerické výsledky pro smíšenou úlohu na mezikruží

- Zvolená data úlohy: $\Omega = \{x \in \mathbb{R}^2 : 1 < \|x\| < 2\}$
 $\Gamma_1 = \{x \in \mathbb{R}^2 : \|x\| = 1\}$
 $\Gamma_2 = \{x \in \mathbb{R}^2 : \|x\| = 2\}$
 $h_1 \equiv 100$
 $h_2 \equiv 200$

Numerické výsledky pro smíšenou úlohu na mezikruží

- Zvolená data úlohy: $\Omega = \{x \in \mathbb{R}^2 : 1 < \|x\| < 2\}$
 $\Gamma_1 = \{x \in \mathbb{R}^2 : \|x\| = 1\}$
 $\Gamma_2 = \{x \in \mathbb{R}^2 : \|x\| = 2\}$
 $h_1 \equiv 100$
 $h_2 \equiv 200$
- Analytické řešení úlohy: $u(x) = 100 + 400 \ln \|x\|$ pro $x \in \overline{\Omega}$
 $t(x) = -400$ pro $x \in \Gamma_1$

Numerické výsledky pro smíšenou úlohu na mezikruží

- Zvolená data úlohy:

$$\Omega = \{x \in \mathbb{R}^2 : 1 < \|x\| < 2\}$$

$$\Gamma_1 = \{x \in \mathbb{R}^2 : \|x\| = 1\}$$

$$\Gamma_2 = \{x \in \mathbb{R}^2 : \|x\| = 2\}$$

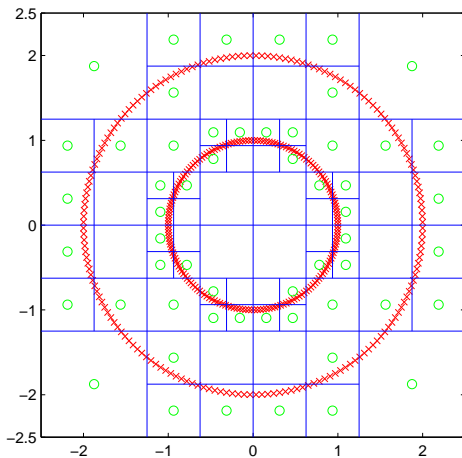
$$h_1 \equiv 100$$

$$h_2 \equiv 200$$
- Analytické řešení úlohy:

$$u(x) = 100 + 400 \ln \|x\| \quad \text{pro } x \in \overline{\Omega}$$

$$t(x) = -400 \quad \text{pro } x \in \Gamma_1$$
- Parametry:
 - Γ_1 i Γ_2 diskretizovány $N/2$ elementy
 - max. 10 elementů v listu
 - $p = q = 19$
 - GMRES s přesností 10^{-8}
 - všechny integrály vyčísleny analyticky

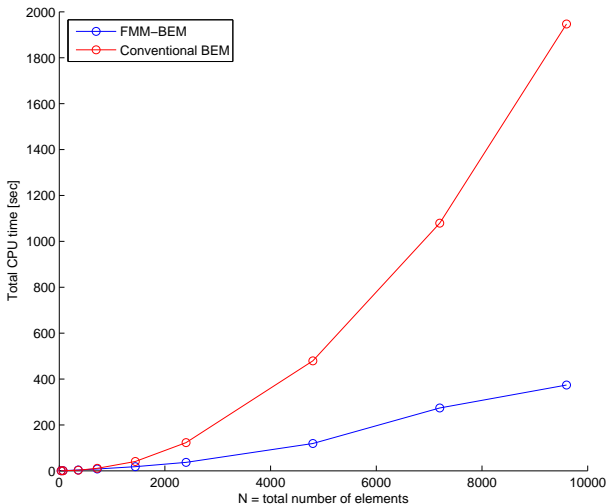
Buňky pro $N = 360$



Numerické výsledky pro smíšenou úlohu na mezikruží

N	t na Γ_1		u na Γ_2	
	FMM-BEM	Conv. BEM	FMM-BEM	Conv. BEM
36	-401,771549	-401,771549	376,723613	376,723613
72	-400,400665	-400,400665	377,140977	377,140977
360	-400,014903	-400,014903	377,254780	377,254780
720	-400,003694	-400,003694	377,257871	377,257870
1400	-400,000973	-400,000973	377,258610	377,258610
2400	-400,000330	-400,000330	377,258784	377,258783
4800	-400,000083	-400,000083	377,258850	377,258850
7200	-400,000037	-400,000037	377,258863	377,258862
9600	-400,000021	-400,000021	377,258867	377,258867
Analytic	-400		377,258872	

Numerické výsledky pro smíšenou úlohu na mezikruží



Diskretizace kolokací s po částech lin. fcemi φ_j

$$u(y) \approx \sum_{j=1}^N u_j \varphi_j(y)$$

Diskretizace kolokací s po částech lin. fcemi φ_j

$$u(y) \approx \sum_{j=1}^N u_j \varphi_j(y)$$

- Změny pouze pro výpočet integrálů s jádrem F

Diskretizace kolokací s po částech lin. fcemi φ_j

$$u(y) \approx \sum_{j=1}^N u_j \varphi_j(y)$$

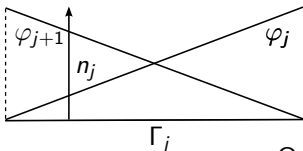
- Změny pouze pro výpočet integrálů s jádrem F
- Změní se pouze přímý výpočet multipole momentů ve Stepu 3 a přímý výpočet příspěvků ve Stepu 5

Diskretizace kolokací s po částech lin. fcemi φ_j

$$u(y) \approx \sum_{j=1}^N u_j \varphi_j(y)$$

- Změny pouze pro výpočet integrálů s jádrem F
- Změní se pouze přímý výpočet multipole momentů ve Stepu 3 a přímý výpočet příspěvků ve Stepu 5
- Příspěvek elementu Γ_j do výpočtu příslušného multipole momentu: $\leftarrow N_k(z_c)$

$$n_j \int_{\Gamma_j} (u_j \varphi_j(z) + u_{j+1} \varphi_{j+1}(z)) l_{k-1}(z - z_c) ds_z$$

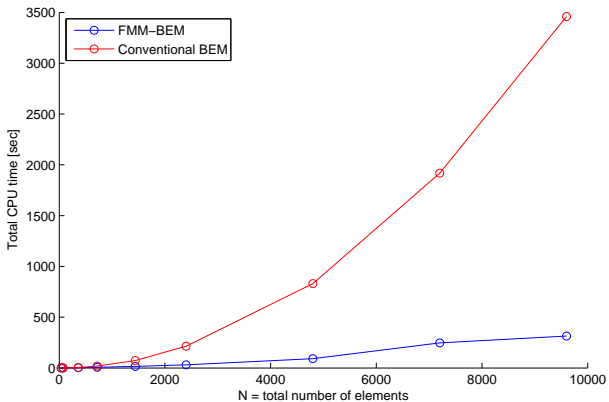


Numerické výsledky pro Dirichletovu úlohu na kruhu

- Pro aproximaci $h(y)$ nyní použijeme po částech lin. prvky φ_j
- Data úlohy jsou volena stejně jako pro případ po část. konst. hraničních prvků

N	$\ \mathbf{t} - \mathbf{t}_{\text{exact}}\ / \ \mathbf{t}_{\text{exact}}\ $	
	FMM-BEM	Conv. BEM
36	$< 10^{-15}$	$< 10^{-15}$
72	$5,2 \cdot 10^{-11}$	$< 10^{-15}$
360	$2,5 \cdot 10^{-10}$	$2,3 \cdot 10^{-14}$
720	$4,5 \cdot 10^{-10}$	$6,4 \cdot 10^{-14}$
1400	$2 \cdot 10^{-10}$	$1,8 \cdot 10^{-13}$
2400	$2,7 \cdot 10^{-10}$	$3,9 \cdot 10^{-13}$
4800	$3,2 \cdot 10^{-10}$	$1,1 \cdot 10^{-12}$
7200	$4,6 \cdot 10^{-10}$	$2 \cdot 10^{-12}$
9600	$4,4 \cdot 10^{-10}$	$3,2 \cdot 10^{-12}$

Numerické výsledky pro Dirichletovu úlohu na kruhu



Numerické výsledky pro Dirichletovu úlohu na čtverci

- Zvolená data úlohy: $\Omega = \{x \in \mathbb{R}^2 : x_1 < 1 \wedge |x_2| < 1 - |x_1|\}$
 $h(x) = 2x_1$

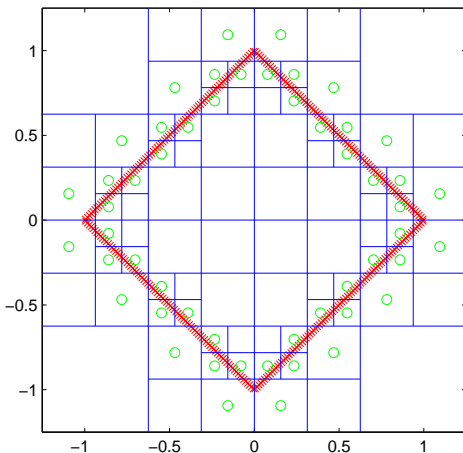
Numerické výsledky pro Dirichletovu úlohu na čtverci

- Zvolená data úlohy: $\Omega = \{x \in \mathbb{R}^2 : x_1 < 1 \wedge |x_2| < 1 - |x_1|\}$
 $h(x) = 2x_1$
- Analytické řešení úlohy: $u(x) = 2x_1$ pro $x \in \bar{\Omega}$
 $t(x) = \begin{cases} \sqrt{2} & x_1 \in (0, 1) \\ -\sqrt{2} & x_1 \in (-1, 0) \end{cases}$

Numerické výsledky pro Dirichletovu úlohu na čtverci

- Zvolená data úlohy: $\Omega = \{x \in \mathbb{R}^2 : x_1 < 1 \wedge |x_2| < 1 - |x_1|\}$
 $h(x) = 2x_1$
- Analytické řešení úlohy: $u(x) = 2x_1$ pro $x \in \bar{\Omega}$
 $t(x) = \begin{cases} \sqrt{2} & x_1 \in (0, 1) \\ -\sqrt{2} & x_1 \in (-1, 0) \end{cases}$
- Parametry: max. 10 elementů v listu
 $p = q = 19$
 GMRES s přesností 10^{-8}
 všechny integrály vyčísleny analyticky

Buňky pro $N = 360$

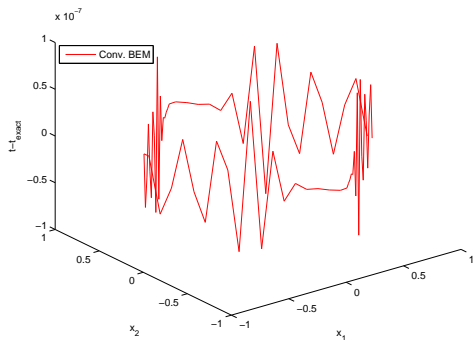
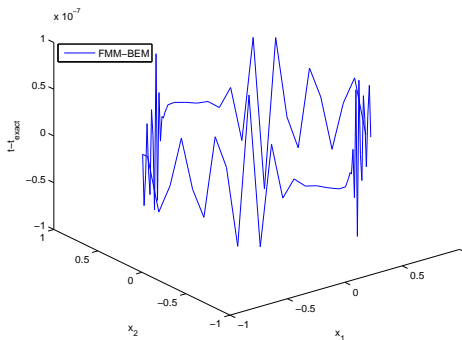


Numerické výsledky pro Dirichletovu úlohu na čtverci

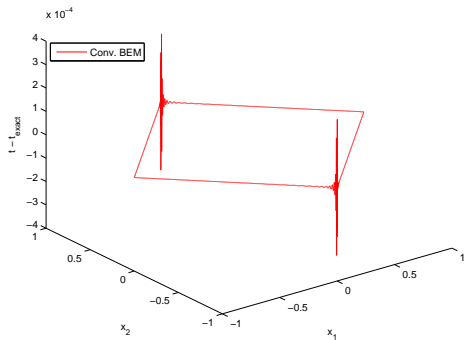
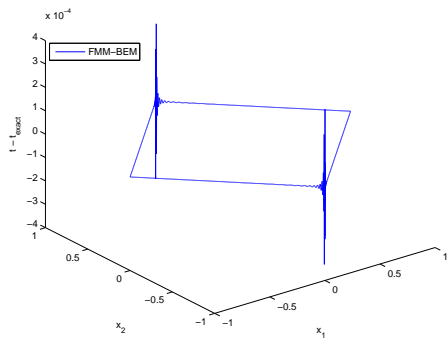
Pro aproximaci $h(y)$ použijeme po částech lin. prvky φ_j .

N	$\ \mathbf{t} - \mathbf{t}_{\text{exact}}\ / \ \mathbf{t}_{\text{exact}}\ $		GMRES it.	
	FMM-BEM	Conv. BEM	FMM-BEM	Conv. BEM
36	$3,1 \cdot 10^{-10}$	$5 \cdot 10^{-10}$	9	9
72	$2,8 \cdot 10^{-8}$	$2,7 \cdot 10^{-8}$	16	16
360	$7,5 \cdot 10^{-7}$	$7,4 \cdot 10^{-7}$	31	31
720	$1,5 \cdot 10^{-6}$	$1,6 \cdot 10^{-6}$	40	39
1400	$2,9 \cdot 10^{-6}$	$2,4 \cdot 10^{-6}$	82	49
2400	$4,8 \cdot 10^{-6}$	$4,1 \cdot 10^{-6}$	93	58
4800	$1 \cdot 10^{-5}$	$9 \cdot 10^{-6}$	70	70
7200	$1,4 \cdot 10^{-5}$	$1,6 \cdot 10^{-5}$	88	77
9600	$1,9 \cdot 10^{-5}$	$1,8 \cdot 10^{-5}$	116	84

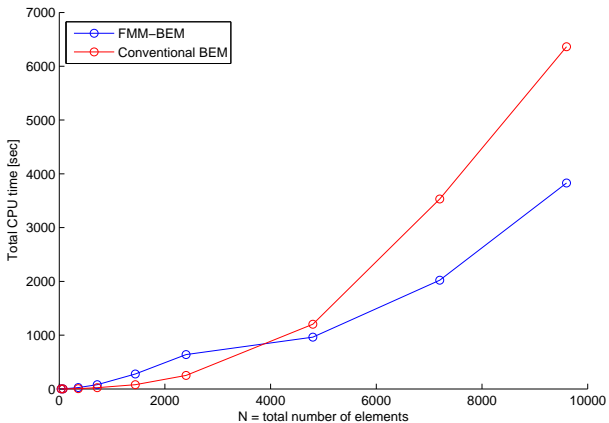
$t - t_{\text{exact}}$ pro $N = 72$



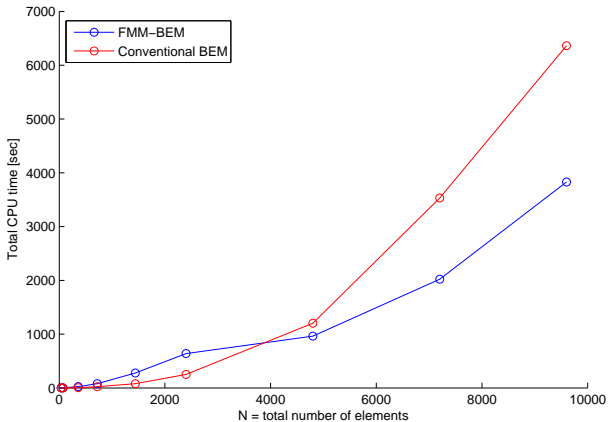
$t - t_{\text{exact}}$ pro $N = 4800$



Numerické výsledky pro Dirichletovu úlohu na čtverci



Numerické výsledky pro Dirichletovu úlohu na čtverci



Příliš mnoho GMRES iterací ⇒ **předpodmínění!**

2D Galerkin FMM BEM

Diskretizací 1. hraniční rovnice Galerkinovou metodou a po částech konst. hraničními prvky ψ_i dostáváme:

$$\frac{1}{2} \langle u, \psi_i \rangle_{L^2(\Gamma)} = \langle Vt, \psi_i \rangle_{L^2(\Gamma)} - \langle Ku, \psi_i \rangle_{L^2(\Gamma)}, \quad i = 1, \dots, N,$$

2D Galerkin FMM BEM

Diskretizací 1. hraniční rovnice Galerkinovou metodou a po částech konst. hraničními prvky ψ_i dostáváme:

$$\frac{1}{2} \langle u, \psi_i \rangle_{L^2(\Gamma)} = \langle Vt, \psi_i \rangle_{L^2(\Gamma)} - \langle Ku, \psi_i \rangle_{L^2(\Gamma)}, \quad i = 1, \dots, N,$$

kde

- V ... operátor jednoduché vrstvy, K ... operátor dvojvrstvy,

- $t(y) \approx \sum_{j=1}^N t_j \psi_j(y), \quad u(y) \approx \sum_{j=1}^N u_j \psi_j(y).$

2D Galerkin FMM BEM

Diskretizací 1. hraniční rovnice Galerkinovou metodou a po částech konst. hraničními prvky ψ_i dostáváme:

$$\frac{1}{2} \langle u, \psi_i \rangle_{L^2(\Gamma)} = \langle Vt, \psi_i \rangle_{L^2(\Gamma)} - \langle Ku, \psi_i \rangle_{L^2(\Gamma)}, \quad i = 1, \dots, N,$$

kde

- V ... operátor jednoduché vrstvy, K ... operátor dvojevrstvy,

- $t(y) \approx \sum_{j=1}^N t_j \psi_j(y), \quad u(y) \approx \sum_{j=1}^N u_j \psi_j(y).$

Pro naši Dirichletovu úlohu máme

$$\langle Vt, \psi_i \rangle_{L^2(\Gamma)} = \frac{1}{2} \langle h, \psi_i \rangle_{L^2(\Gamma)} + \langle Kh, \psi_i \rangle_{L^2(\Gamma)}, \quad i = 1, \dots, N.$$

2D Galerkin FMM BEM

Diskretizací 1. hraniční rovnice Galerkinovou metodou a po částech konst. hraničními prvky ψ_i dostáváme:

$$\frac{1}{2} \langle u, \psi_i \rangle_{L^2(\Gamma)} = \langle Vt, \psi_i \rangle_{L^2(\Gamma)} - \langle Ku, \psi_i \rangle_{L^2(\Gamma)}, \quad i = 1, \dots, N,$$

kde

• V ... operátor jednoduché vrstvy, K ... operátor dvojevrstvy,

• $t(y) \approx \sum_{j=1}^N t_j \psi_j(y), \quad u(y) \approx \sum_{j=1}^N u_j \psi_j(y).$

Pro naši Dirichletovu úlohu máme

$$\langle Vt, \psi_i \rangle_{L^2(\Gamma)} = \frac{1}{2} \langle h, \psi_i \rangle_{L^2(\Gamma)} + \langle Kh, \psi_i \rangle_{L^2(\Gamma)}, \quad i = 1, \dots, N.$$

Pro řešení výše uvedeného systému použijeme vhodný iterační algoritmus s počáteční aproximací $\mathbf{t}^0 = (t_j^0)_{j=1}^N$, přičemž násobení maticí tuhosti a výpočet pravé strany bude realizováno pomocí FMM-BEM.

- Pro $i = 1, \dots, N$ je třeba vyčíslit

$$\int_{\Gamma_i} \left(\int_{\Gamma} h(y) F(x, y) ds_y \right) ds_x,$$

- pro danou aproximaci $\mathbf{t}^\alpha = (t_j^\alpha)_{j=1}^N$ a $i = 1, \dots, N$ je třeba vyčíslit

$$\int_{\Gamma_i} \left(\int_{\Gamma} t^\alpha(y) G(x_i, y) ds_y \right) ds_x, \quad \text{kde} \quad t^\alpha(y) = \sum_{j=1}^N t_j^\alpha \psi_j(y).$$

Výpočet integrálů s jádrem G

Uvažujme integrál

$$\int_{\Gamma_i} \left(\int_{\Gamma_0} t(z) G(z_0, z) ds_z \right) ds_{z_0},$$

kde Γ_0 je „dost daleko“ od Γ_i .

Výpočet integrálů s jádrem G

Uvažujme integrál

$$\int_{\Gamma_i} \left(\int_{\Gamma_0} t(z) G(z_0, z) ds_z \right) ds_{z_0},$$

kde Γ_0 je „dost daleko“ od Γ_i .

Je-li z_L je „blízký bod“ Γ_i , dostáváme pomocí lokální expanze

$$\int_{\Gamma_i} \underbrace{\left(\int_{\Gamma_0} t(z) G(z_0, z) ds_z \right)}_{\sum_{\ell=0}^{\infty} L_{\ell}(z_L) I_{\ell}(z_0 - z_L)} ds_{z_0}$$

Výpočet integrálů s jádrem G

Uvažujme integrál

$$\int_{\Gamma_i} \left(\int_{\Gamma_0} t(z) G(z_0, z) ds_z \right) ds_{z_0},$$

kde Γ_0 je „dost daleko“ od Γ_i .

Je-li z_L je „blízký bod“ Γ_i , dostáváme pomocí lokální expanze

$$\int_{\Gamma_i} \underbrace{\left(\int_{\Gamma_0} t(z) G(z_0, z) ds_z \right)}_{\sum_{\ell=0}^{\infty} L_{\ell}(z_L) I_{\ell}(z_0 - z_L)} ds_{z_0} = \sum_{\ell=0}^{\infty} L_{\ell}(z_L) \int_{\Gamma_i} I_{\ell}(z_0 - z_L) ds_{z_0}.$$

Výpočet integrálů s jádrem G

Uvažujme integrál

$$\int_{\Gamma_i} \left(\int_{\Gamma_0} t(z) G(z_0, z) ds_z \right) ds_{z_0},$$

kde Γ_0 je „dost daleko“ od Γ_i .

Je-li z_L je „blízký bod“ Γ_i , dostáváme pomocí lokální expanze

$$\int_{\Gamma_i} \underbrace{\left(\int_{\Gamma_0} t(z) G(z_0, z) ds_z \right)}_{\sum_{\ell=0}^{\infty} L_{\ell}(z_L) I_{\ell}(z_0 - z_L)} ds_{z_0} = \sum_{\ell=0}^{\infty} L_{\ell}(z_L) \int_{\Gamma_i} I_{\ell}(z_0 - z_L) ds_{z_0}.$$

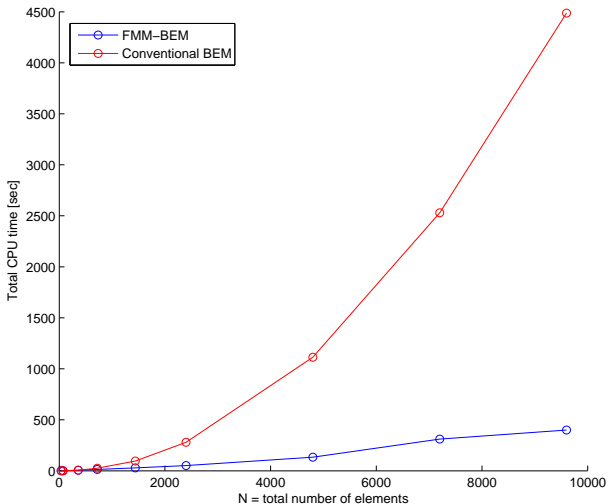
Analogický postup provedeme u integrálů s jádrem F .

Numerické výsledky pro Dirichletovu úlohu na kruhu

- Použity po částech konst. prvky ψ_j
- Data úlohy jsou volena stejně jako pro případ kolokace s tím, že regulární integrály jsou počítány numericky Gaussovou kvadraturou s 8 body a iteračním řešičem jsou sdružené gradienty (CG)

N	$\ \mathbf{t} - \mathbf{t}_{\text{exact}}\ _V / \ \mathbf{t}_{\text{exact}}\ _V$	
	FMM-BEM	Conv. BEM
36	$6,5 \cdot 10^{-3}$	$6,5 \cdot 10^{-3}$
72	$1,6 \cdot 10^{-3}$	$1,6 \cdot 10^{-3}$
360	$6,4 \cdot 10^{-5}$	$6,4 \cdot 10^{-5}$
720	$1,6 \cdot 10^{-5}$	$1,6 \cdot 10^{-5}$
1400	$4,2 \cdot 10^{-6}$	$4,2 \cdot 10^{-6}$
2400	$1,4 \cdot 10^{-6}$	$1,4 \cdot 10^{-6}$
4800	$3,6 \cdot 10^{-7}$	$3,6 \cdot 10^{-7}$
7200	$1,6 \cdot 10^{-7}$	$1,6 \cdot 10^{-7}$
9600	$8,9 \cdot 10^{-8}$	$8,9 \cdot 10^{-8}$

Numerické výsledky pro Dirichletovu úlohu na kruhu



Závěr

„Literatura“

L. Greengard, V. Rokhlin klasické práce z konce 80. let

N. Nishimura, Y. Liu, K. Yoshida FMM pro Helmholtzovu rovnici a trhliny

M. Bonnet, S. Chaillat FMM pro 3D elastodynamiku

G. Of, O. Steinbach FMM pro elastostatiku

E. Darve FMM pro Helmholtzovu a Maxwellovy rovnice